

シミュレーションが 未来をひらく

CMSI計算科学技術 特論B

# 第2回 アプリケーションの性能最適化1 (高並列性能性能最適化)

2014年4月17日

独立行政法人理化学研究所  
計算科学研究機構 運用技術部門  
ソフトウェア技術チーム チームヘッド

南 一生

minami\_kaz@riken.jp



# 講義の概要

- **スーパーコンピュータとアプリケーションの性能**
- **アプリケーションの性能最適化1 (高並列性能最適化)**
- **アプリケーションの性能最適化2 (CPU単体性能最適化)**
- **アプリケーションの性能最適化の実例1**
- **アプリケーションの性能最適化の実例2**

# 内容

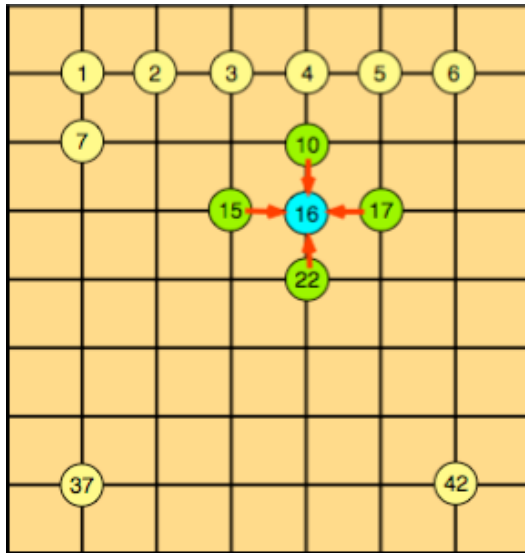
---

- 反復法
- アプリケーションの性能最適化
- 簡単な実例
- 並列性能のボトルネック

---

# 反復法

# 差分法と連立一次方程式



- 左図のような2次元の領域で微分方程式を解くとする。
- 5点差分で差分化すると自分自身の差分点と周りの4つの差分点の式ができる。

$$C_{1,3}u_1 + C_{1,4}u_2 + C_{1,5}u_7 = \alpha_1 \quad \text{①の差分点について}$$

$$C_{2,2}u_1 + C_{2,3}u_2 + C_{2,4}u_3 + C_{2,5}u_8 = \alpha_2 \quad \text{②の差分点について}$$

.....

$$C_{16,1}u_{10} + C_{16,2}u_{15} + C_{16,3}u_{16} + C_{16,4}u_{17} + C_{16,5}u_{22} = \alpha_{16} \quad \text{⑬の差分点について}$$

.....

- 全部で42点の差分点が存在するので42元の連立方程式となる。
- したがって元の微分方程式は、差分化により以下のような連立一次方程式を解く事に帰着させる事ができる。

$$Ax = b$$

# 反復法の一般的な議論

- 左のような連立一次方程式を考える.  $A\mathbf{x} = \mathbf{b} \quad \dots \textcircled{1}$
- $A$ を右のように書き直す.  $I$ は単位行列.  $A = I - B \quad \dots \textcircled{2}$
- $\textcircled{2}$ を $\textcircled{1}$ に代入し整理する.  $(I - B)\mathbf{x} = \mathbf{b}$   
 $\mathbf{x} = B\mathbf{x} + \mathbf{b} \quad \dots \textcircled{3}$
- $\textcircled{3}$ を満たすベクトルの列:  $\mathbf{x}^0, \mathbf{x}^1, \mathbf{x}^2, \mathbf{x}^3 \dots$  を考える.  $\mathbf{x}^{(m+1)} = B\mathbf{x}^{(m)} + \mathbf{b} \quad \dots \textcircled{4}$
- ここで $\textcircled{4}$ の両辺の極限を取れば $\textcircled{5}$ のようになる  
$$\lim_{m \rightarrow \infty} \mathbf{x}^{(m+1)} = B \lim_{m \rightarrow \infty} \mathbf{x}^{(m)} + \mathbf{b} \quad \dots \textcircled{5}$$
- 極限ベクトルを $\mathbf{x}$ とおけば $\textcircled{5}$ は $\textcircled{6}$ のようになる  $\mathbf{x} = B\mathbf{x} + \mathbf{b} \quad \dots \textcircled{6}$
- $\textcircled{6}$ は $\textcircled{3}$ と全く同一となる. つまり連立一次方程式: $\textcircled{1}$ を解く事は $\textcircled{4}$ を満たすベクトルの列:  $\mathbf{x}^0, \mathbf{x}^1, \mathbf{x}^2, \mathbf{x}^3 \dots$ を見つける事に帰着する.

# 各反復法

- ④を解くための反復法について説明する  $\mathbf{x}^{(m+1)} = \mathbf{B}\mathbf{x}^{(m)} + \mathbf{b} \dots \textcircled{4}$

- Aは正則, Aの対角要素は全て0でない複素数であると仮定する.

- 解くべき方程式  $\mathbf{A}\mathbf{x} = \mathbf{k} \dots \textcircled{7}$

- Aを⑧のように変形. DはAの対角成分のみの行列. EはAの狭義下三角行列の符号を変えた行列. FはAの狭義上三角行列の符号を変えた行列.  $\mathbf{A} = \mathbf{D} - \mathbf{E} - \mathbf{F} \dots \textcircled{8}$

$$\mathbf{D}\mathbf{x} = (\mathbf{E} + \mathbf{F})\mathbf{x} + \mathbf{k} \dots \textcircled{9}$$

- ⑧を⑦に代入し⑨を得る  $\mathbf{x}^{(m+1)} = \mathbf{D}^{-1}(\mathbf{E} + \mathbf{F})\mathbf{x}^{(m)} + \mathbf{D}^{-1}\mathbf{k} \dots \textcircled{10}$

- ⑨を④の反復法にすると⑩を得る.  $\dots \textcircled{10}$

- この反復法を点ヤコビ法という.

- 具体的には⑪の計算法となる.

- 注目すべきは (m+1) 世代の解を得るために (m) 世代の解しか使用しない点である.

$$\left. \begin{aligned} a_{ii}x_i^{(m+1)} &= -\sum_{\substack{j=1 \\ j \neq i}}^n a_{ij}x_j^{(m)} + k_j \\ x_i^{(m+1)} &= -\sum_{\substack{j=1 \\ j \neq i}}^n \left( \frac{a_{ij}}{a_{ii}} \right) x_j^{(m)} + \frac{k_i}{a_{ii}} \end{aligned} \right\} \dots \textcircled{11}$$



# 各反復法

- ⑨を⑫のように変形する.

$$(\mathbf{D} - \mathbf{E})\mathbf{x} = \mathbf{F}\mathbf{x} + \mathbf{k} \quad \dots \textcircled{12}$$

- ⑫を④の反復法にすると⑬を得る.

$$(\mathbf{D} - \mathbf{E})\mathbf{x}^{(m+1)} = \mathbf{F}\mathbf{x}^{(m)} + \mathbf{k} \quad \dots \textcircled{13}$$

- この反復法を点ガウス・ザイデル法という.

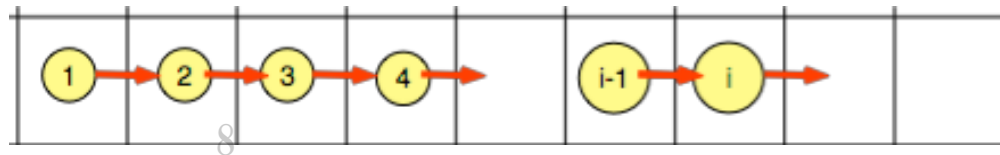
$$a_{ii}x_i^{(m+1)} = -\sum_{j=1}^{i-1} a_{ij}x_j^{(m+1)} - \sum_{j=1+1}^n a_{ij}x_j^{(m)} + k_j \quad \dots \textcircled{14}$$

- 具体的には⑭の計算法となる.
- 注目すべきは  $(m+1)$  世代の解を得るために  $(m+1)$  世代の下三角行列を使用している点である (リカレンスの発生).

- 右図のように、 $i$ を定義するのに  $i-1$ の値を参照するコーディングは下図のような参照関係となり、リカレンス (回帰参照) が発生している.

$$\begin{array}{l} \rightarrow \text{do } i=1, n \\ \quad x(i) = a(i) * x(i-1) + b(i) \end{array}$$

- リカレンスがあると、 $i$ については依存関係があり並列処理ができない.

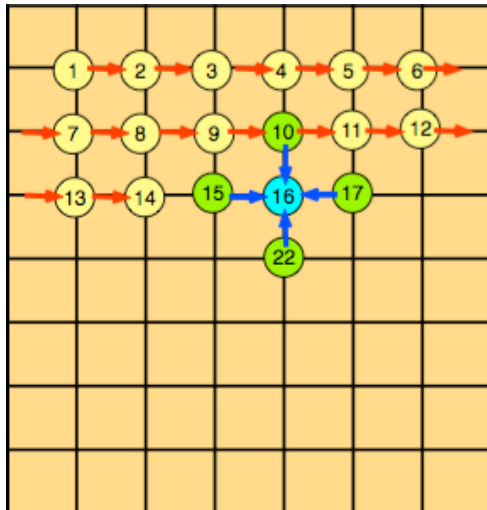




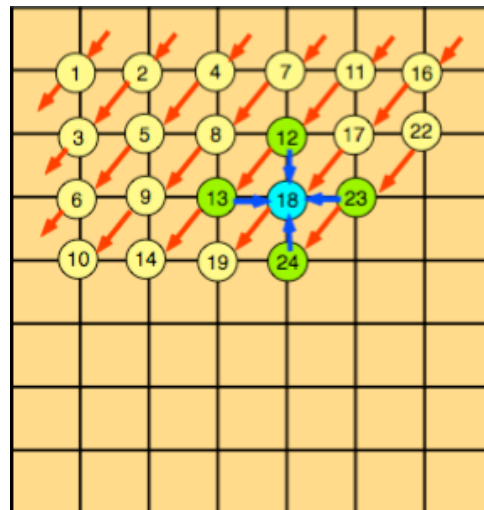
# 各反復法

- ヤコビ法やガウス・ザイデル法はメッシュの**計算順序を変更しても収束する事が数学的に証明されている。**
- ガウス・ザイデル法オリジナルの計算順序は前ページのようにリカレンスのために並列化できない。
- そこで (b) のハイパープレーン法や (c) のRED-BLACK法を用い**ループ内のリカレンスによる依存関係をなくす。**
- **依存関係をなくす事で前回講義のようにハードウェアの並列計算機構を使い高速に計算可能となる。また並列化そのものにも使用可能。**

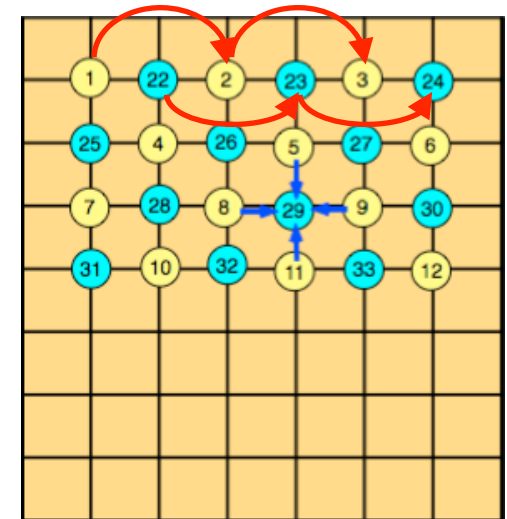
(a)オリジナルスイープ



(b)ハイパープレーンスイープ



(c)RED-BLACKスイープ



→ 参照関係  
→ 計算順序(スイープ順序)

- 斜めのハイパープレーン内はリカレンスがない。
- ハイパープレーン間のみリカレンスが発生。

- 黄と青の2つのループに再構成する。
- それぞれのループ内はリカレンスがない。

# 共役勾配法 (CG法)

- ①の2次の関数を考える。
- この関数の最小値問題を解くために $f(x)$ の微分を取り0とおく。
- ②より①の最小値問題を解く事が $ax=b$ の解を得る事と同等であることが分かる。
  
- 上記と同様な事を多次元のベクトルで行う。
- ①と同等な関数として③を考える。
- ③を成分で標記すると④のようになる。
  
- ④を $x$ で偏微分すると⑤になる。
- 行列Aの対称性を使い0とおくことにより⑥が得られる。
- ⑥は連立一次方程式⑦の成分表示である。
  
- したがって③の最小値問題を解く事が連立一次方程式⑦を解くこととなる。

$$f(x) = \frac{1}{2}ax^2 - bx \quad \dots \textcircled{1}$$

$$f'(x) = ax - b = 0 \quad \dots \textcircled{2}$$

$$f(\mathbf{x}) = \frac{1}{2}(\mathbf{x}, \mathbf{Ax}) - (\mathbf{b}, \mathbf{x}) \quad \dots \textcircled{3}$$

$$f(\mathbf{x}) = \frac{1}{2} \sum_{i=1}^n \sum_{j=1}^n a_{ij} x_i x_j - \sum_{i=1}^n b_i x_i \quad \dots \textcircled{4}$$

$$\frac{\partial f(\mathbf{x})}{\partial x_k} = \frac{1}{2} \sum_{i=1}^n a_{ik} x_i + \frac{1}{2} \sum_{j=1}^n a_{kj} x_j - b_k \quad \dots \textcircled{5}$$

$$\frac{\partial f(\mathbf{x})}{\partial x_k} = \sum_{i=1}^n a_{ki} x_i - b_k = 0 \quad \dots \textcircled{6}$$

$$\mathbf{Ax} = \mathbf{b} \quad \dots \textcircled{7}$$

# 共役勾配法 (CG法)

$$r_0 = b - A x_0$$

$$p_0 = r_0$$

for  $i = 0, 1, 2, \dots$

$$\alpha_i = \frac{(r_i, r_i)}{(p_i, A p_i)}$$

$$x_{i+1} = x_i + \alpha_i p_i$$

$$r_{i+1} = r_i - \alpha_i A p_i$$

$$\beta_i = \frac{(r_{i+1}, r_{i+1})}{(r_i, r_i)}$$

$$p_{i+1} = r_{i+1} + \beta_i p_i$$

- CG法アルゴリズムの基本形を左図に示す。
- この他に色々なアルゴリズムの派生形がある。
- ③式の  $f(x)$  が最小値が得られるように  $x_i$  の列を求めて行く。
- $r_i$  は残差ベクトルであり互いに直交し一次独立であることが証明されている。
- したがって残差ベクトルは  $N$  元の連立一次方程式には  $N$  個しか存在しない。
- CG法を使うと  $N$  元の連立一次方程式は高々  $N$  回の反復で収束する。
- また  $A$  の固有値が縮重しているか密集していれば収束が速くなる性質を持つ。

# 前処理付き共役勾配法 (CG法)

- Aに近い正値対称行列:Mを考えコレスキー分解する(①式).
- ここで②のようなxの置き換えを行う.
- これを使ってもとのAx=bを変形する(③④式)
- ここで⑤で置き換えたAの性質をみる.
- Mは⑥を満たすので①より⑦を満たす.
- ⑤に⑦を適用すると⑧をみたし置き換えたAの性質は単位行列に近いことが分かる.
- したがって⑨によって置き換えた行列Aの固有値は1の周りに密集しているものと考えられる
- 置き換えた行列とベクトルに対する連立一次方程式:⑩の収束は早いものと期待できる.

$$M = U^T U \quad \dots \textcircled{1}$$

$$\tilde{x} = Ux \quad \dots \textcircled{2}$$

$$AU^{-1}\tilde{x} = b \quad \dots \textcircled{3}$$

$$U^{-T}AU^{-1}\tilde{x} = U^{-T}b = \tilde{b} \quad \dots \textcircled{4}$$

$$U^{-T}AU^{-1} = \tilde{A} \quad \dots \textcircled{5}$$

$$A \approx M \quad \dots \textcircled{6}$$

$$A \approx U^T U \quad \dots \textcircled{7}$$

$$U^{-T}AU^{-1} \approx U^{-T}(U^T U)U^{-1} = I \quad \dots \textcircled{8}$$

$$\tilde{A} = U^{-T}AU^{-1} \quad \dots \textcircled{9}$$

$$\tilde{A}\tilde{x} = \tilde{b} \quad \dots \textcircled{10}$$

# 前処理付き共役勾配法 (CG法)

- 不完全コレスキー分解による前処理CG法アルゴリズムの基本形を下図に示す。
- 不完全コレスキー分解は元の行列要素の位置のみを計算する。
- 0要素に対するフィルインは計算しない。
- 計算は行列ベクトル積・ベクトルスカラー積・ベクトルの和・内積・除算で構成される。
- 赤線で示した前処理部分は前進代入・後退代入で計算される。

$$\text{ステップ1:} \quad \alpha^k = (r_i^k \bullet \underline{(LL^T)^{-1} r_i^k}) / (Ap_i^k \bullet p_i^k)$$

$$\text{ステップ2:} \quad x_i^{k+1} = x_i^k + \alpha^k p_i^k$$

$$\text{ステップ3:} \quad r_i^{k+1} = r_i^k - \alpha^k Ap_i^k$$

$$\text{ステップ4:} \quad \beta^k = (r_i^{k+1} \bullet \underline{(LL^T)^{-1} r_i^{k+1}}) / (r_i^k \bullet \underline{(LL^T)^{-1} r_i^k})$$

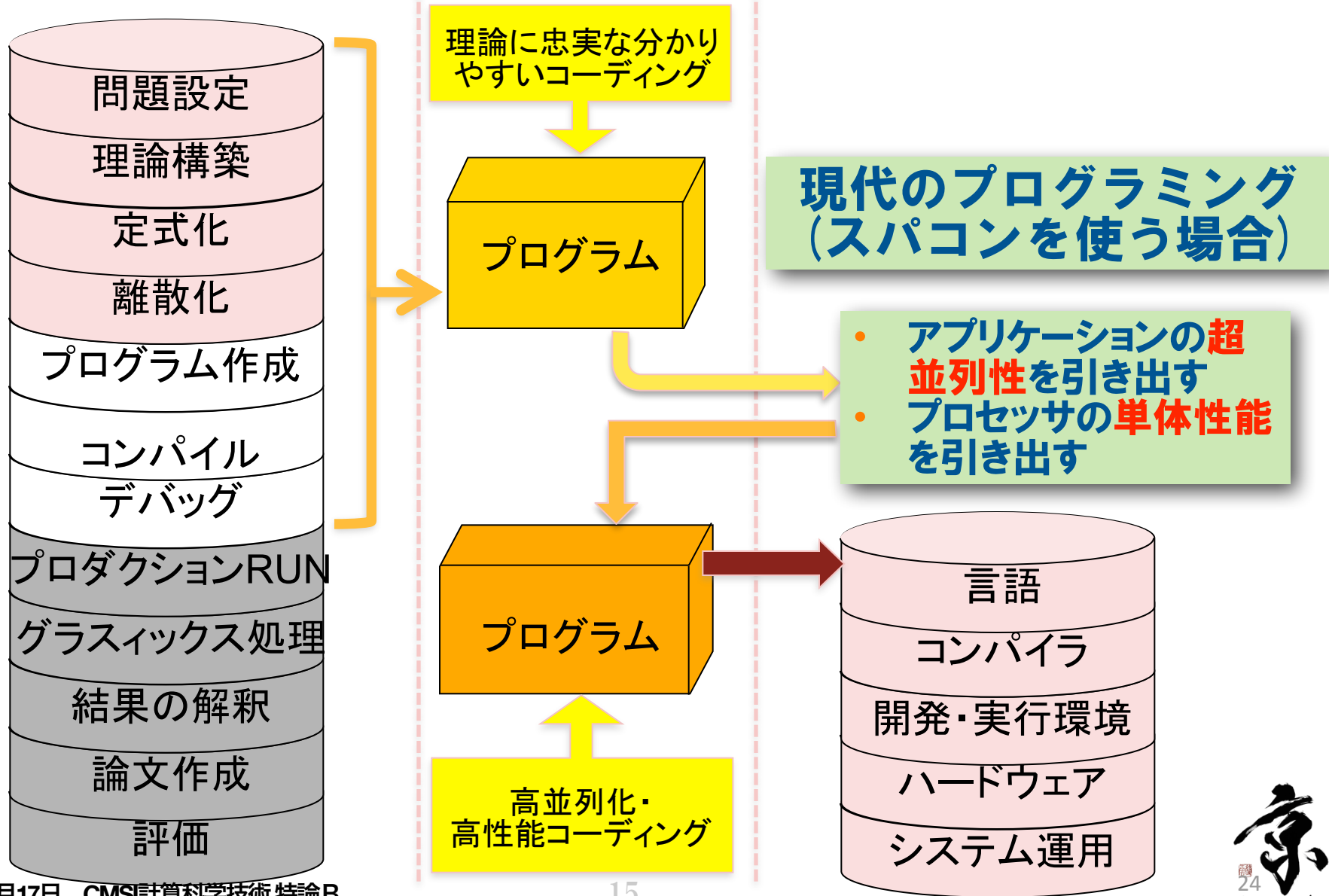
$$\text{ステップ5:} \quad p_i^{k+1} = \underline{(LL^T)^{-1} r_i^{k+1}} + \beta^k p_i^k$$

---

# アプリケーションの 性能最適化

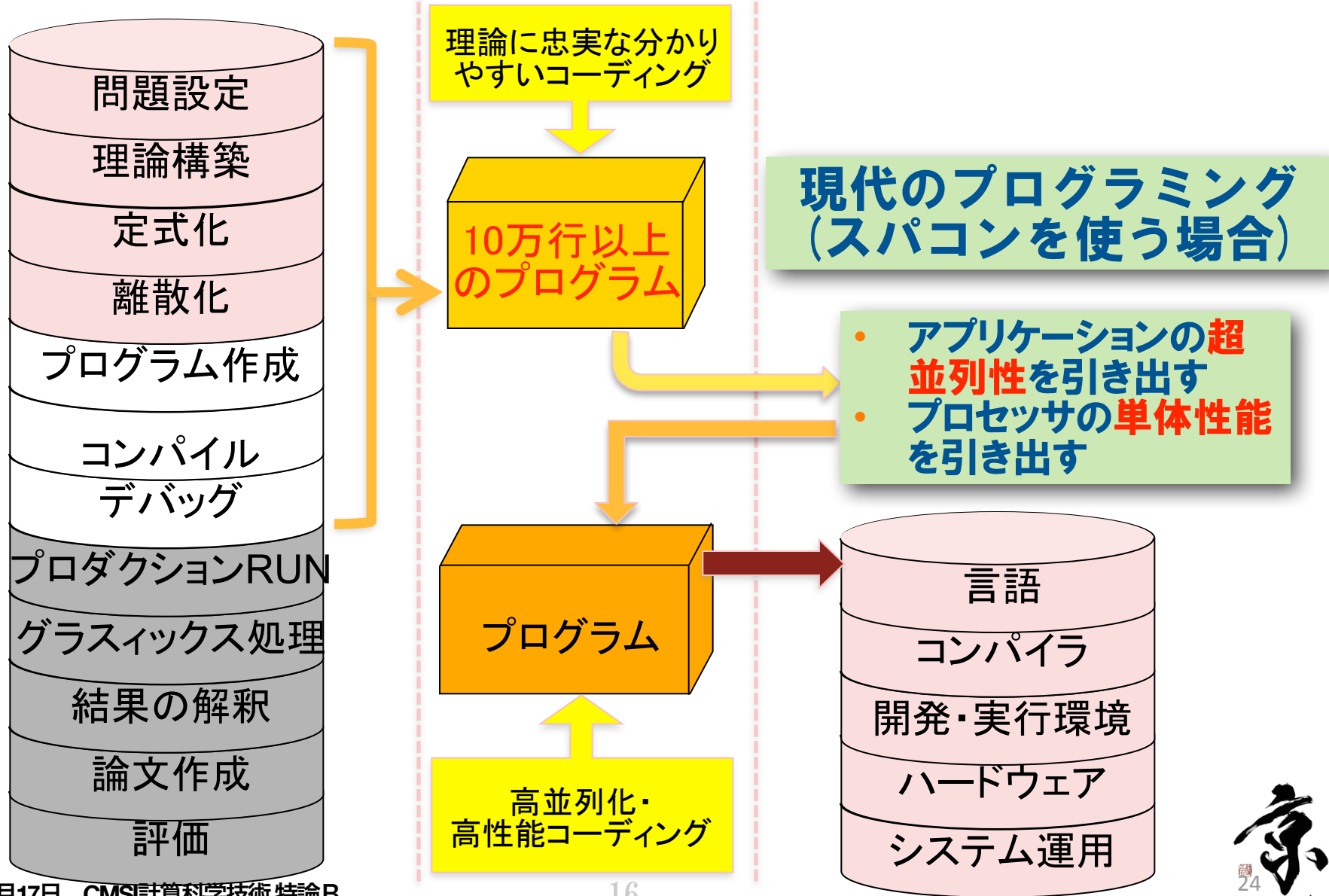
# 計算科学

# 計算機科学



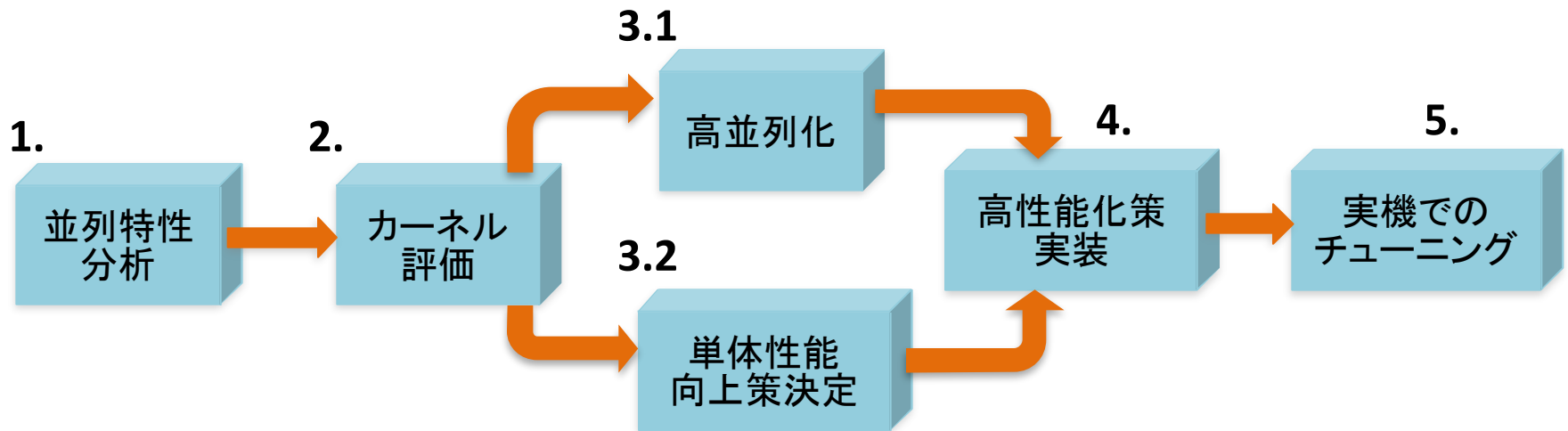
# 計算科学

# 計算機科学

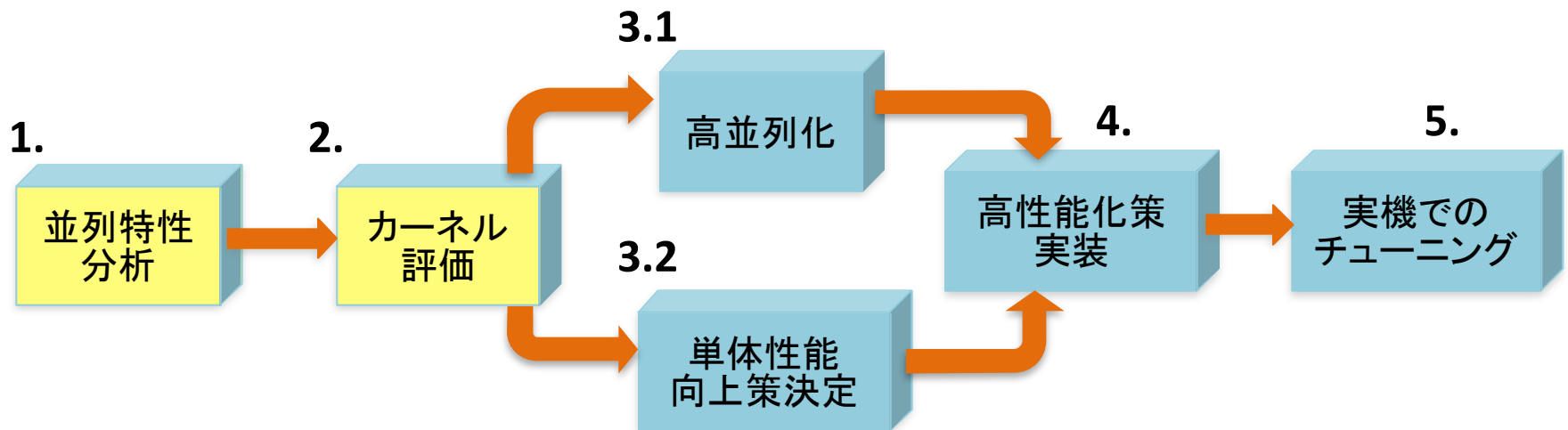




# アプリケーションの性能最適化のステップ



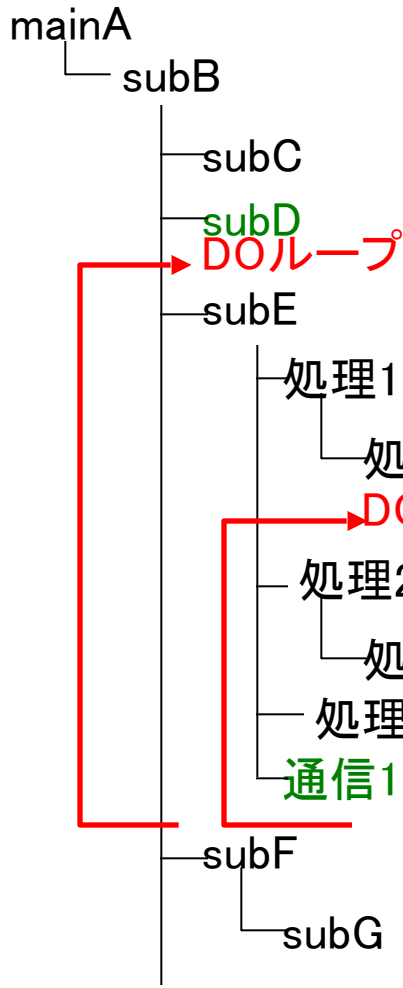
# 並列特性分析・カーネル評価



# 1. 並列特性分析

(処理構造分析・ブロック特性分析)

- (1)コードの構造を分析し物理に沿った処理ブロック(計算/通信)に分割
- (2)コードの実行時間の実測
- (3)プログラムソースコードの調査
- (4)処理ブロックの物理的処理内容を把握
- (5)計算ブロック毎の計算特性把握(非並列/完全並列/部分並列、Nに比例/N\*\*2に比例等)
- (6)通信ブロック毎の通信特性把握(グローバル通信・隣接通信、隣接面に比例&隣接通信/体積に比例、等)



	実行時間 ・スケーラ ・ビリティ	物理的 処理内容	演算・通信 特性	演算・通信 見積り	カーネル
ブロック1 (計算)			部分並列	Nに比例	
ブロック2 (計算)			完全並列	N**3に比例	○
(通信)			隣接通信	隣接面に比例	○
ブロック3					

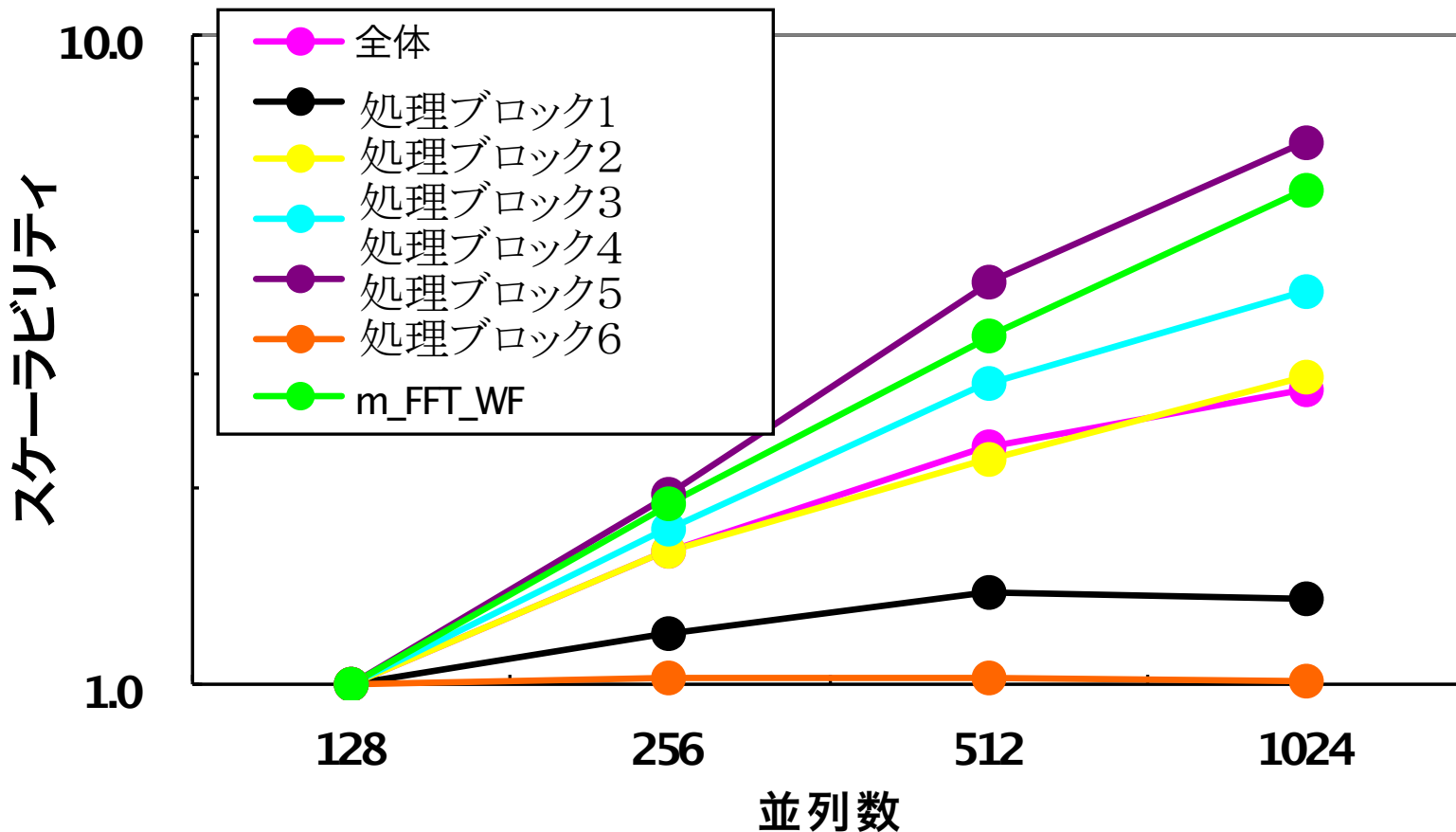
# 2. カーネル評価

- (1)計算・通信ブロックについて物理的処理内容・コーディングの評価を行い同種の計算・通信ブロックを評価し異なる種類の計算・通信ブロックをカーネルの候補として洗い出す
- (2)並列特性分析の結果から得た問題規模に対する依存性の情報を元にターゲット問題実行時に、また高並列実行時にカーネルとなる計算・通信カーネルを洗い出す

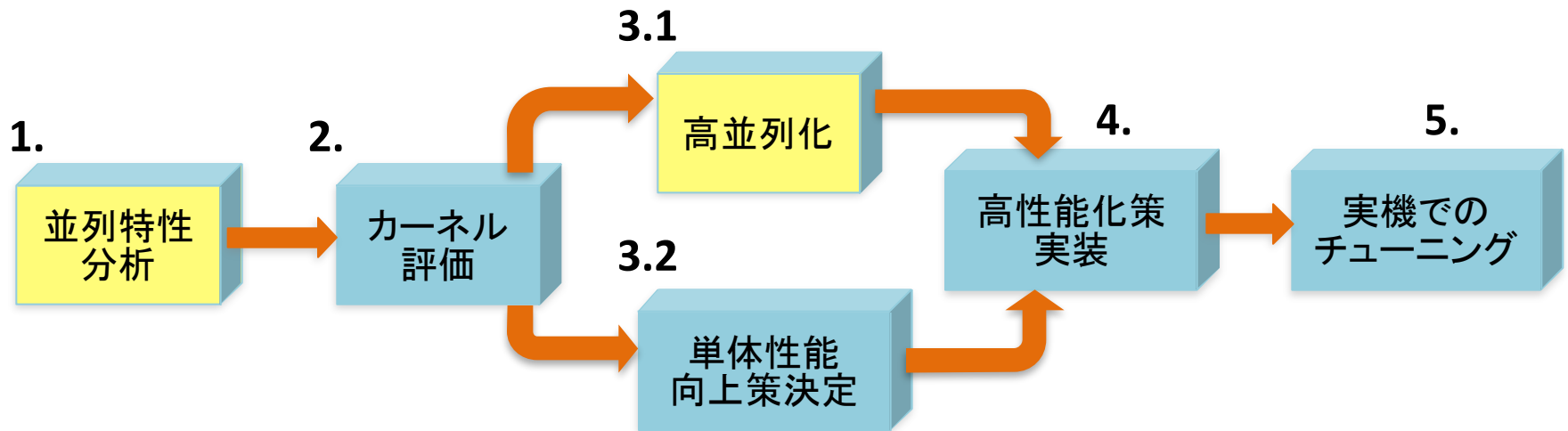
# ブロック毎の実行時間とスケーラビリティ評価(例)

→従来の評価はサブルーチン毎・関数毎等の評価が多い

→サブルーチン・関数は色々な場所で呼ばれるため正しい評価ができない



# 並列特性分析・高並列化



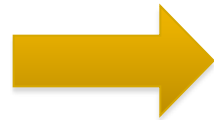
# アプリケーションを高並列性を評価するためには？

- ✓ 十分な並列度を得る並列化手法を採用する
- ✓ 非並列部分を最小化する
- ✓ 通信時間を最小化する
- ✓ ロードインバランスを出さない

**最初の並列特性分析のフェーズ  
および高並列化のステップで  
アプリケーションの高並列を阻害する  
要因を洗い出す事が重要**

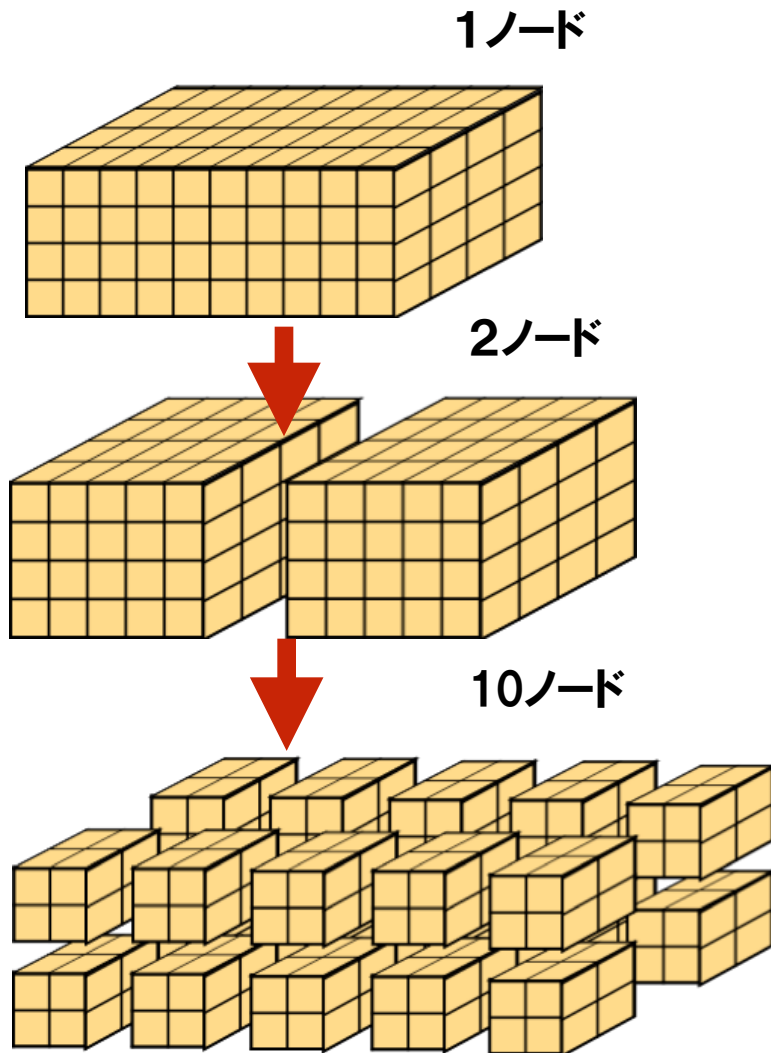
# 超高並列を目指した場合の留意点-ブロック毎に以下を評価する

- 非並列部が残っていないか？残っている場合に問題ないか？
- 隣接通信時間が超高並列時にどれくらいの割合を占めるか？
- 大域通信時間が超高並列時にどれくらい増大するか？
- ロードインバランスが超高並列時に悪化しないか？



これらの評価が重要

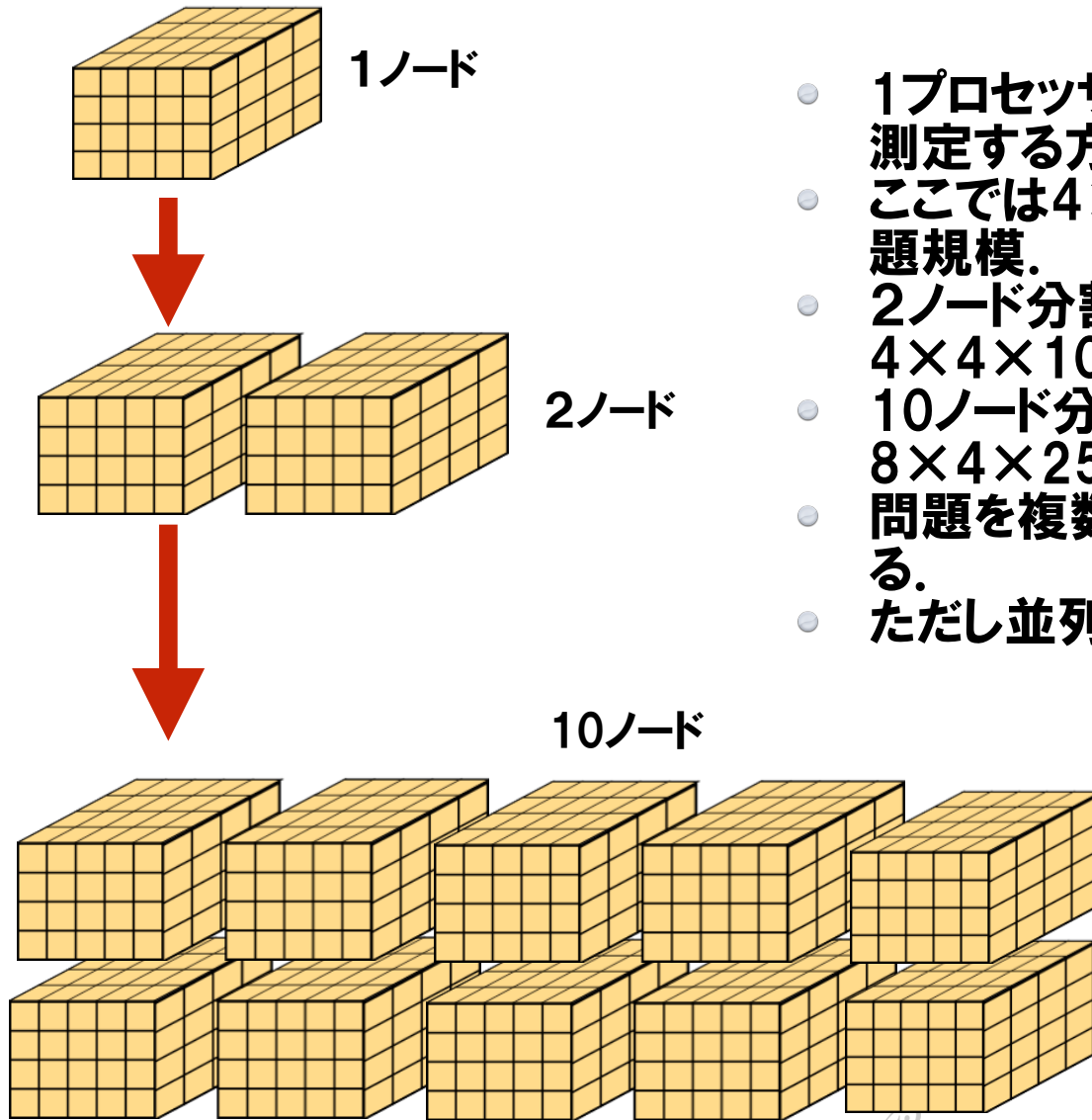
# ストロングスケール測定



- 全体の問題規模を一定にして測定する方法.
- ここでは $4 \times 4 \times 10$ が全体の問題規模.
- 2ノード分割では1ノードあたり的问题規模は $4 \times 4 \times 5$ となる.
- 10ノード分割では1ノードあたり的问题規模は $2 \times 2 \times 2$ となる.
- 問題を1種類作れば良いので測定は楽である.
- 並列時の挙動は見えにくい.



# ウィークスケージング測定



- 1プロセッサあたりの問題規模を一定にして測定する方法.
- ここでは $4 \times 4 \times 5$ が1プロセッサあたりの問題規模.
- 2ノード分割では全体の問題規模は $4 \times 4 \times 10$ となる.
- 10ノード分割では全体の問題規模は $8 \times 4 \times 25$ となる.
- 問題を複数作る必要が測定は煩雑である.
- ただし並列時の挙動が見え易い.

# 超高並列を目指した場合の留意点-ブロック毎に以下を評価する

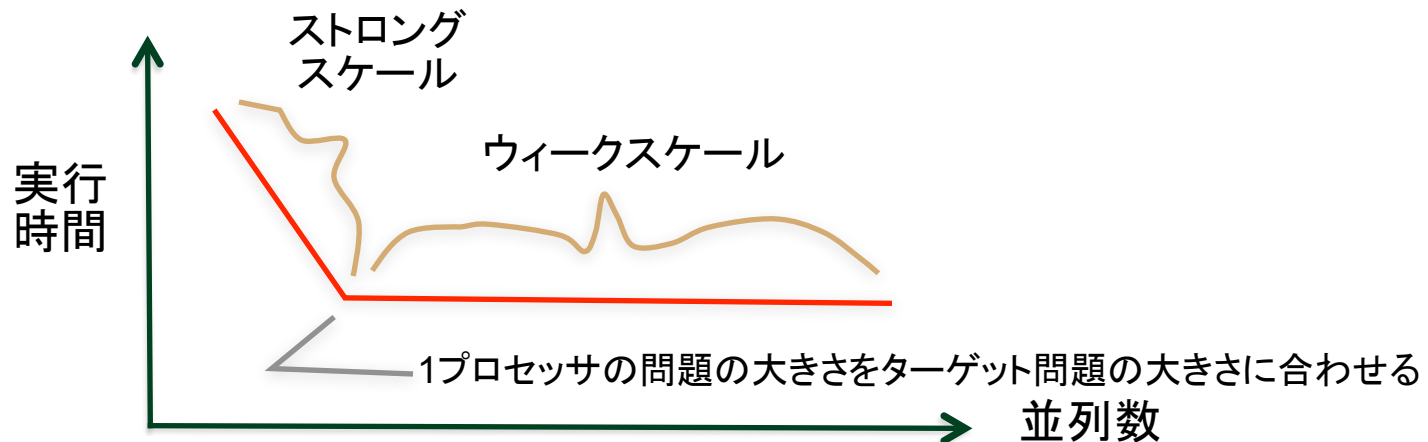
- 非並列部が残っていないか？残っている場合に問題ないか？
- 隣接通信時間が超高並列時にどれくらいの割合を占めるか？
- 大域通信時間が超高並列時にどれくらい増大するか？
- ロードインバランスが超高並列時に悪化しないか？

➡ これらの評価が重要

そのために

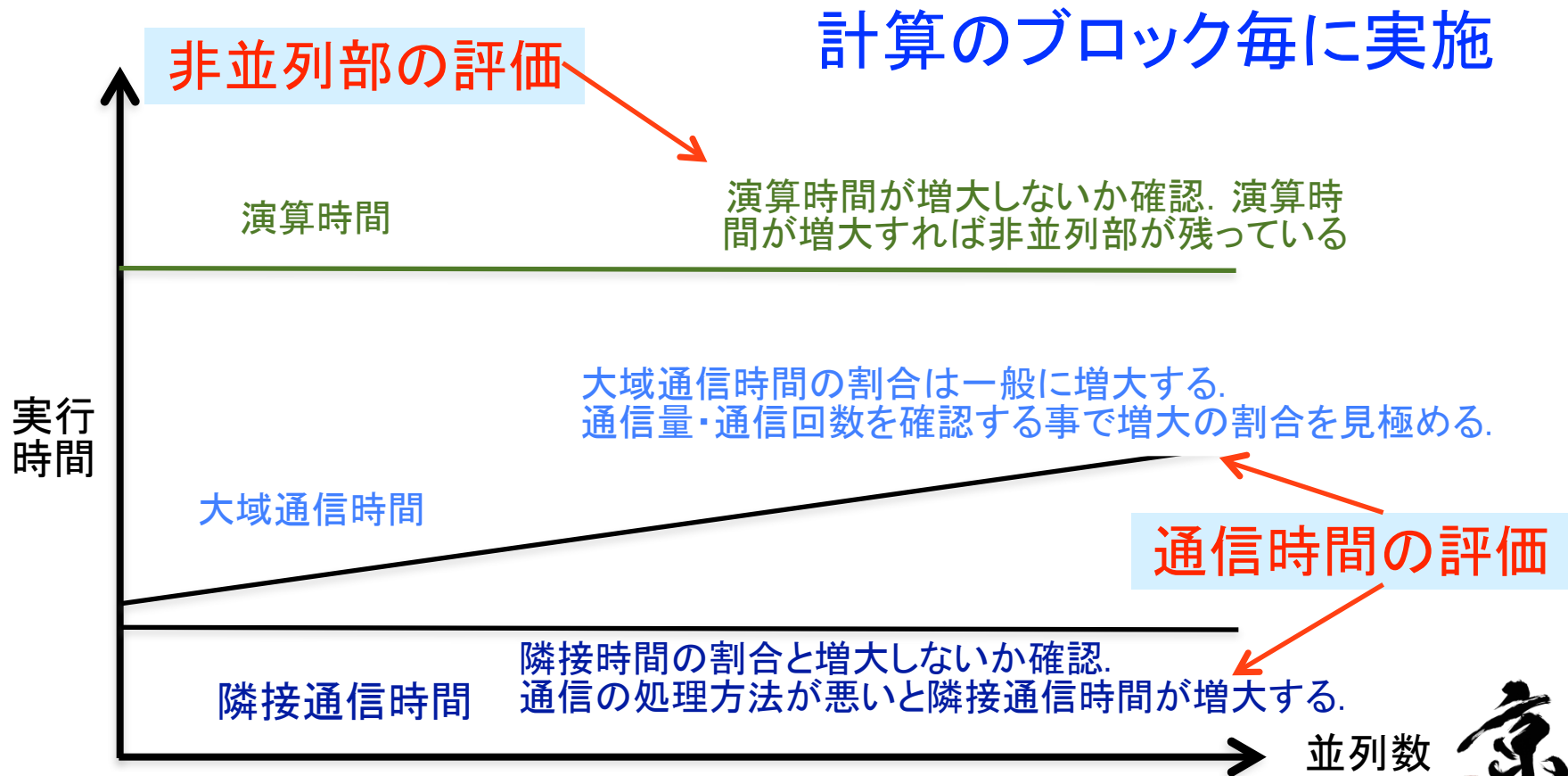
# ストロングスケールとウィークスケールリング測定を使う

- ターゲット問題を決める
- 1プロセッサの問題規模がターゲット問題と同程度となるまでは、ストロングスケールリングで実行時間・ロードインバランス・隣接通信時間・大域通信時間を測定・評価する(100から数百並列まで)
- 上記もウィークスケールリングでできればなお良い
- 上記の測定・評価で問題があれば解決する
- 問題なければ並列度を上げてウィークスケールリングで大規模並列の挙動を測定する

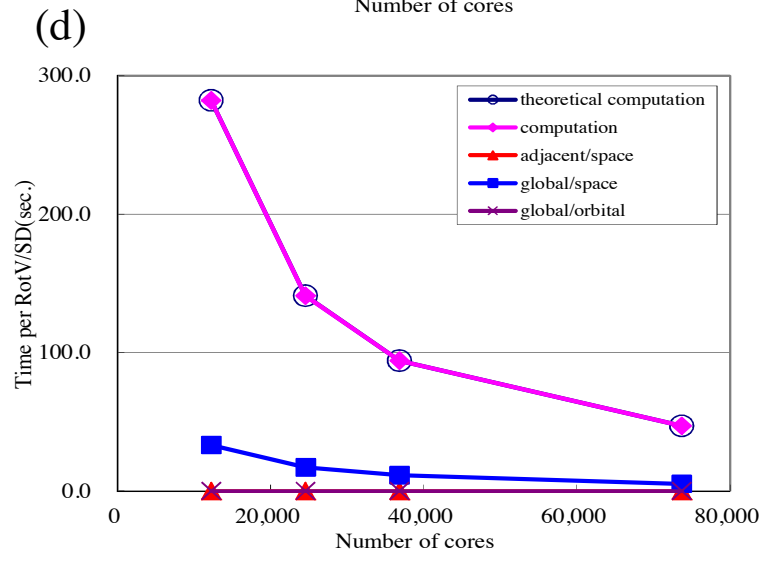
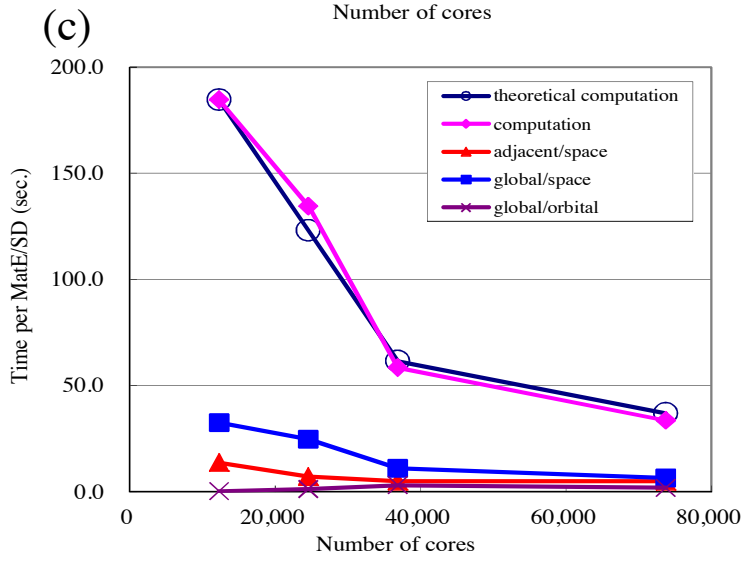
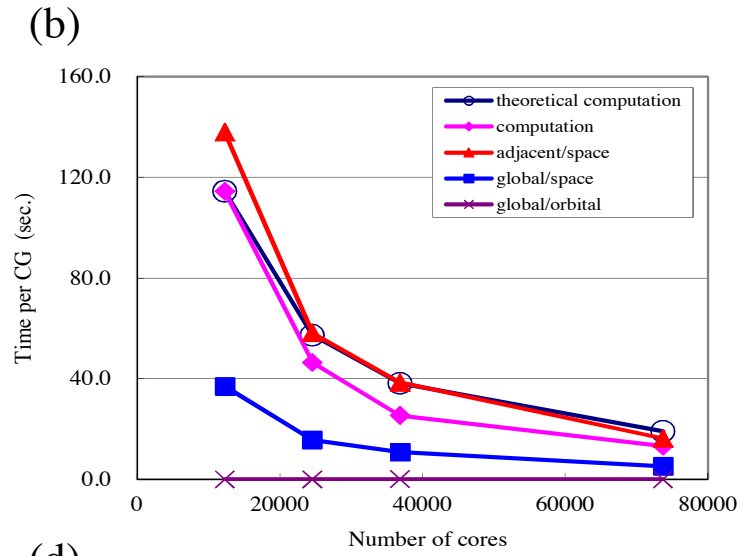
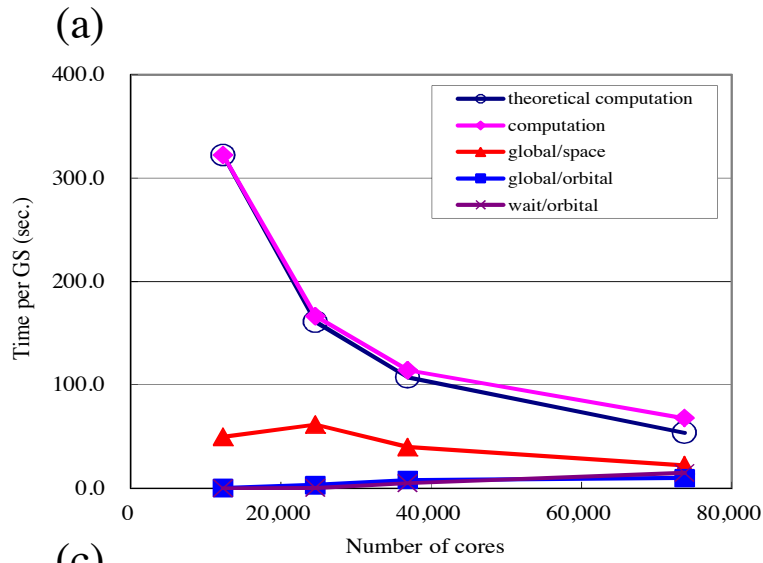


# 大規模並列のウィークスケーリング評価

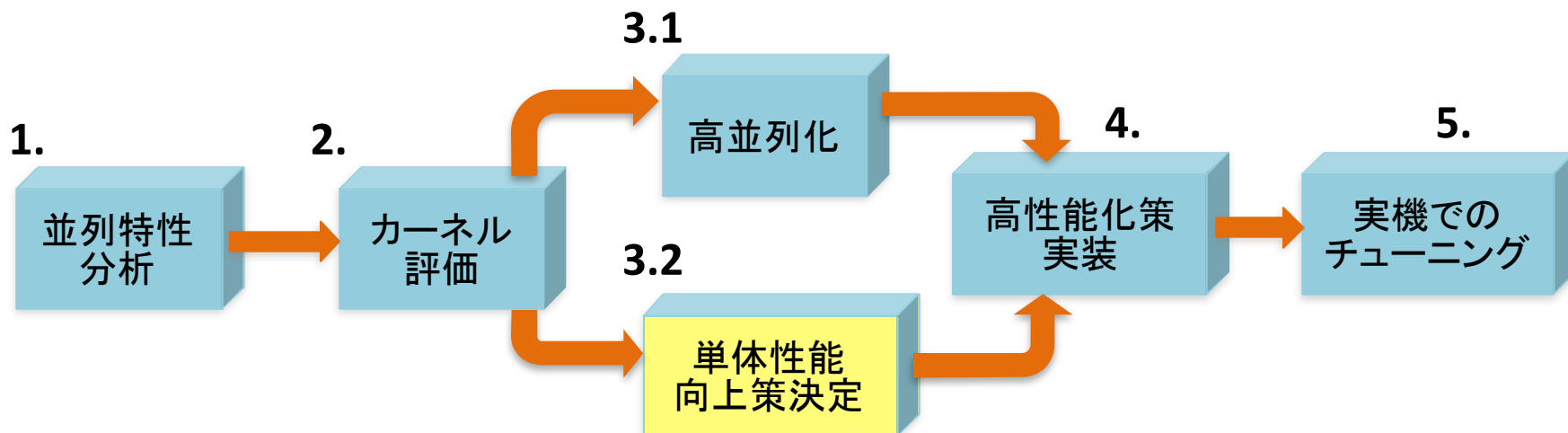
- 現状使用可能な実行環境を使用し100程度/1000程度/数千程度と段階を追ってできるだけ高い並列度で並列性能を確認する(ウィークスケーリング測定).
- ウィークスケーリングが難しいものもあるが出来るだけ測定したい. 難しい場合は, 演算時間をモデル化して実測とモデルとの一致を評価する.



# ストロングスケールリングだけドスケールをモデル化した例

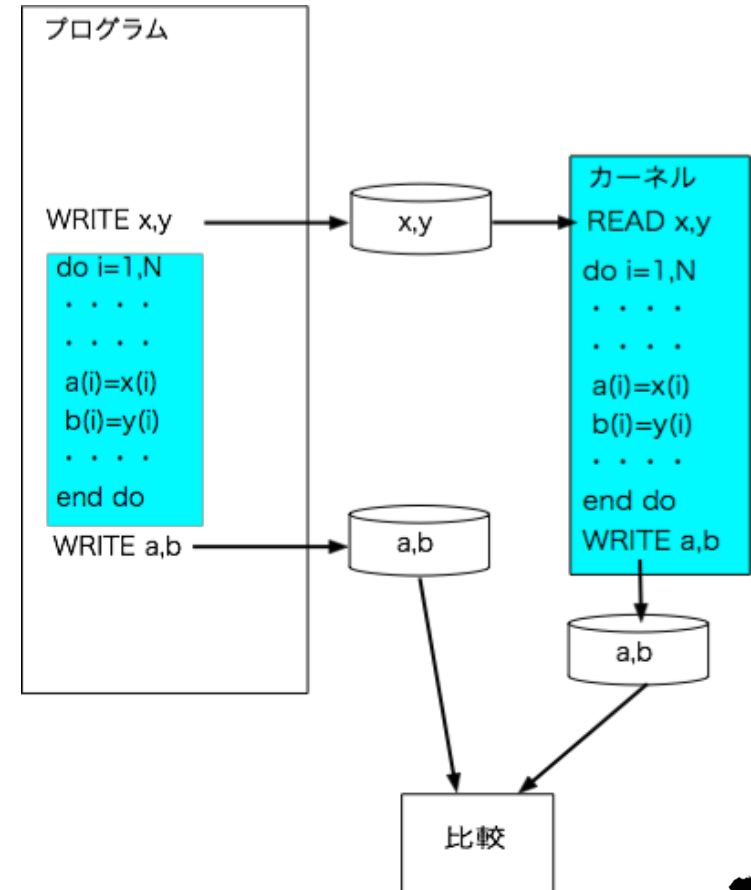


# 単体性能向上策決定



# カーネルの切り出しと性能向上策の試行

- 計算カーネルの切り出し→計算カーネルを独立なテストプログラムとして切り出す.
- 性能向上策の試行→切り出したテスト環境を使用し様々な性能向上策を試行する.
- 性能向上策の評価・決定→試行結果を評価し性能向上策の案を策定する.
- 作業量見積り→性能向上策を実施した場合のコード全体に影響する作業を洗い出す.
- それら作業を実施した場合の作業量を見積る.
- それら进行评估し最終的に採用する案を決定する.



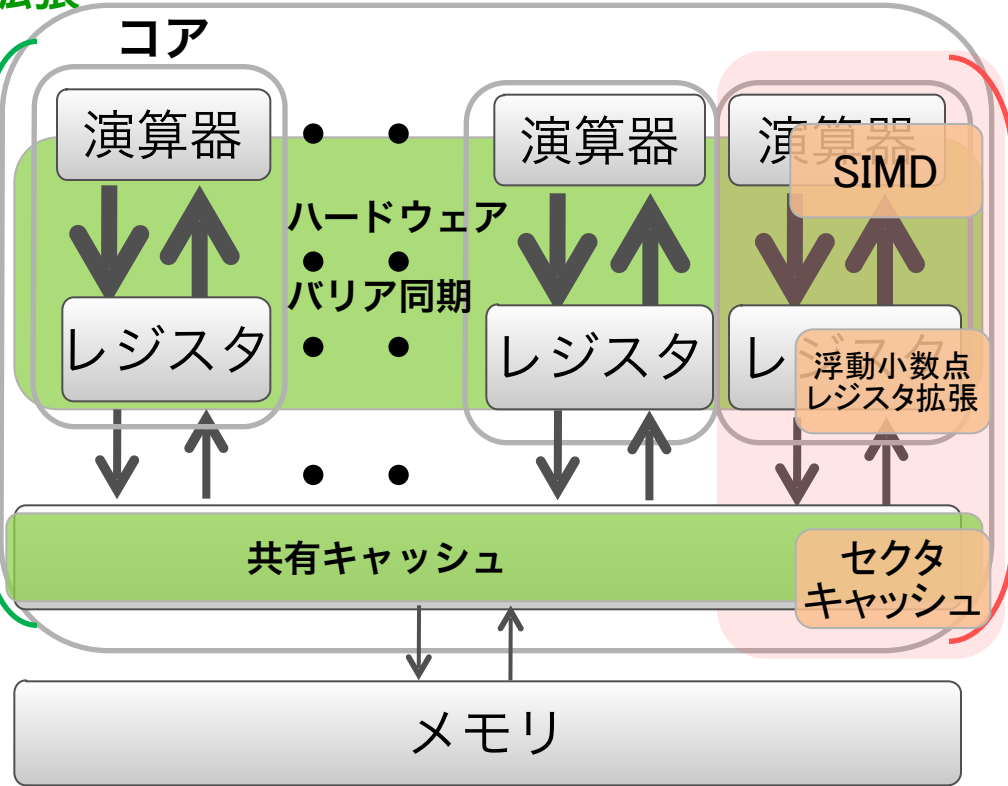
# 京の場合のCPU性能高速化技術

SPARC64™ VIIで実装した  
技術を拡張

SPARC64™ VIIIfx  
新規技術

VISIMPACT

HPC-ACE



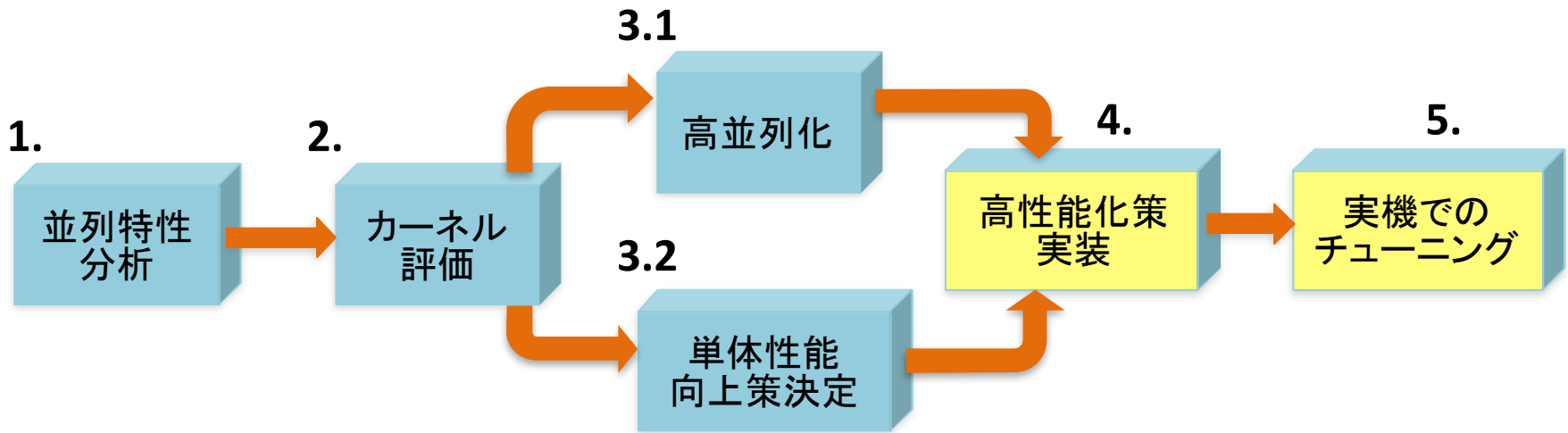
科学技術計算を高速で処理  
するための拡張命令セット

→コンパイラ/アプリケーションで、いかに  
活用できるか/するかが高速化のキーポイント





# 高性能化策実装・実機でのチューニング



## 高性能化策実装

高並列化の対策を実施したコードに対して策  
定した単体性能向上策を実装する

設計・プログラミング・デバッグ作業であり作  
業工数的には大きな作業となる

## 実機でのチューニング

4まで実施されたコードをさらに実機に載せて全体として  
チューニングする

### (1)測定

・実機上で並列性能/単体性能を測定する.

### (2)問題点洗い出し

・並列性能/単体性能のそれぞれについて  
問題点を洗い出す.

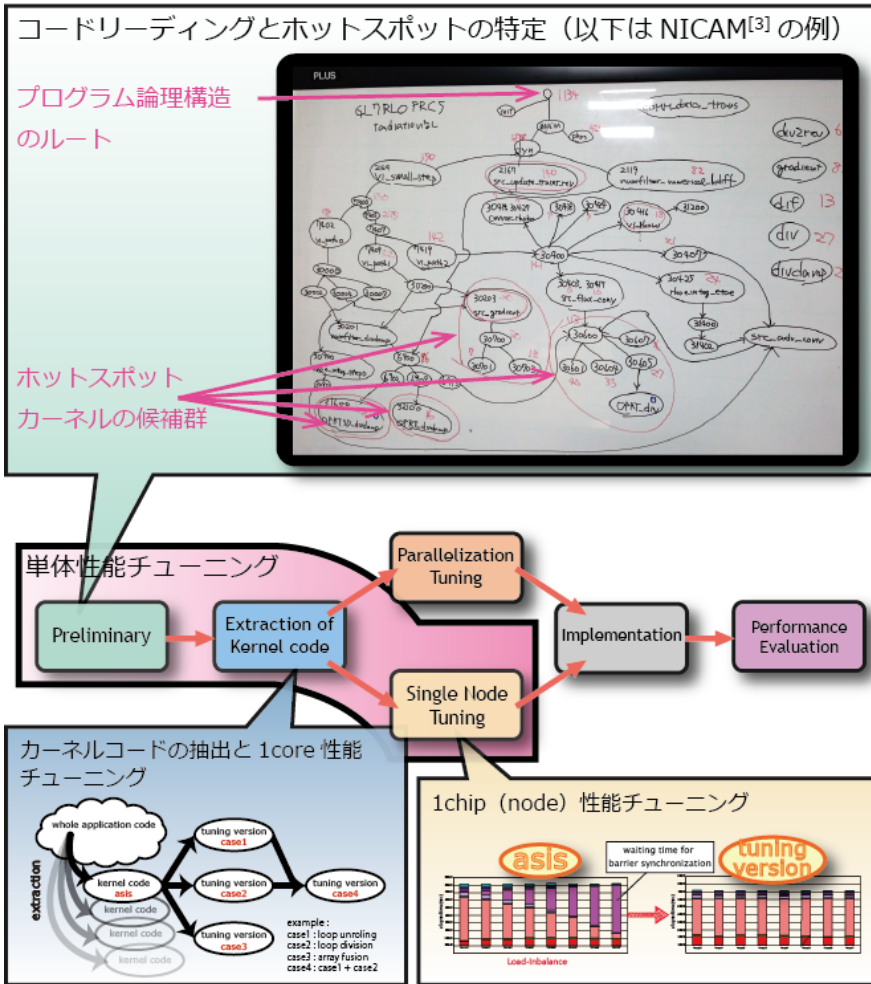
### (3)問題点解決

・洗い出された問題点の解決策策定  
・解決策の実装

---

# 簡単な実例

# K-scope

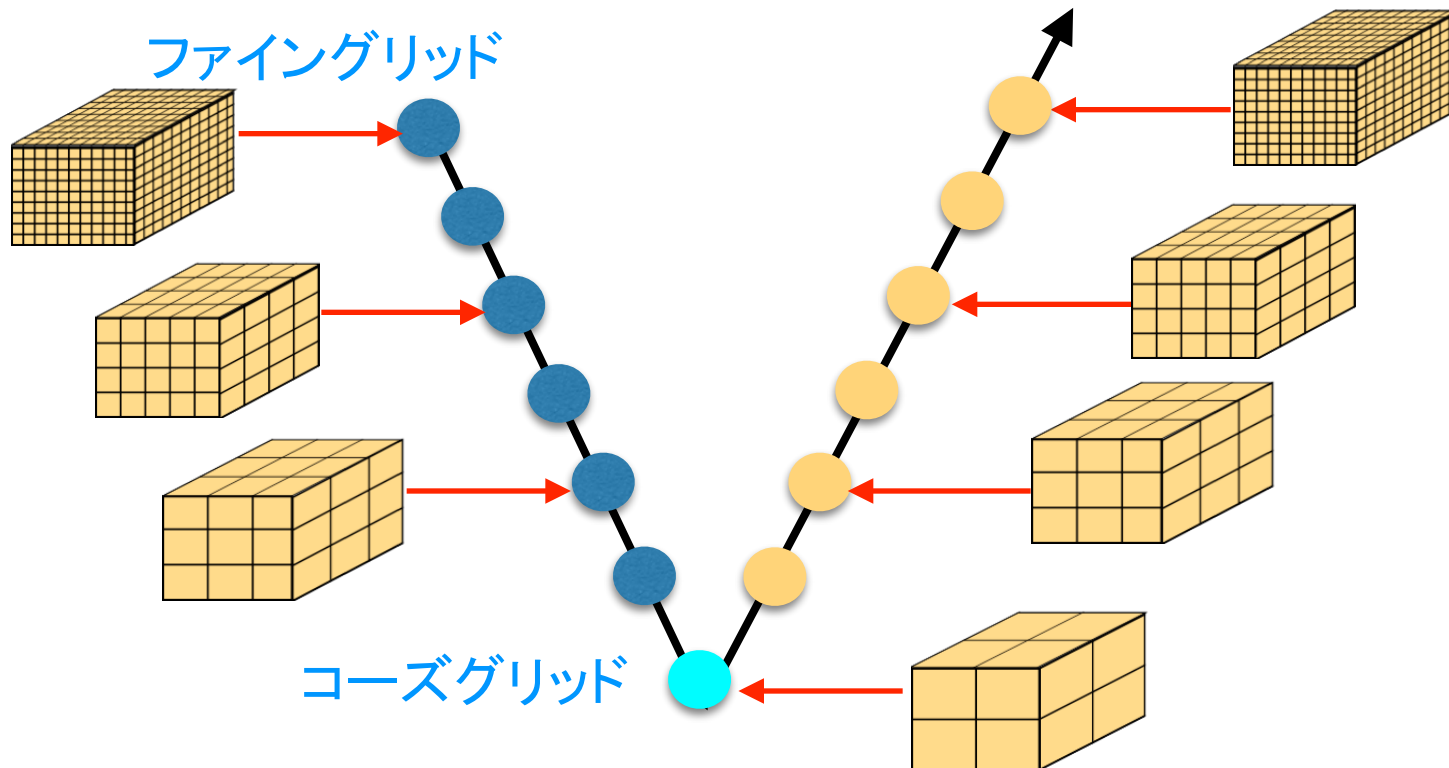


- プログラム構造を俯瞰的にみて理解を助けるツール.
- Fortran90及びFortran77が対象.
- プロシージャ呼び出し, ループ, 分岐に代表されるプログラムの構造の可視化を行う.
- 「京」プロファイルデータに対応した動的解析情報も表示可能.
- プログラム構造解析支援ツール.

# NPB MGを使用した解析例

NPB MG (マルチグリッド法により連立一次方程式を解くベンチマークテストプログラム)

Vサイクルマルチグリッド



# NPB MGを使用した解析例

NPB MG (マルチグリッド法により連立一次方程式を解くベンチマークテストプログラム)

MGのアルゴリズム  
 $Au = f$ を解く

Vサイクルマルチグリッド

ファイングリッド

制限補間

$$f_k = R_{k+1 \rightarrow k} f_{k+1}$$

$$f_{k-1} = R_{k \rightarrow k-1} f_k$$

$$f_{k-2} = R_{k-1 \rightarrow k-2} f_{k-1}$$

$$f_1 = R_{2 \rightarrow 1} f_2$$

コースグリッド

$$A_1 u_1 = f_1$$

$$A_{k+1} u_{k+1} = r_{k+1}$$

$$r_{k+1} = f_{k+1} - A_{k+1} u_{k+1}$$

$$u_{k+1} = R_{k \rightarrow k+1} u_k$$

$$A_k u_k = r_k \quad \text{近似解求解}$$

$$r_k = f_k - A_k u_k \quad \text{残差計算}$$

$$u_k = R_{k-1 \rightarrow k} u_{k-1} \quad \text{延長補間}$$

# アプリケーションの構造の調査 (概要)

## ▼ Structure tree

### ▼ program mg\_mpi

```

call mpi_init(ierr)
call mpi_comm_rank(mpi_comm_world, me, ierr)
call mpi_comm_size(mpi_comm_world, nprocs, ierr)
call timer_start(t_bench)
call resid(u, v, r, n1, n2, n3, a, k)
call norm2u3(r, n1, n2, n3, rnm2, rnmu, nx(lt), ny(lt), nz(lt))
do it = 1, nit, 1
  if (((it == 1) .or. (it == nit)) .or. (mod(it, 5) == 0)) then
    call mg3p(u, v, r, a, c, n1, n2, n3, k)
      subroutine mg3p
        do k = lt, lb + 1, -1
          call rprj3(r(ir(k)), m1(k), m2(k), m3(k), r(ir(j)), m1(j), m2(j), m3(j))
          call zero3(u(ir(k)), m1(k), m2(k), m3(k))
          call psinv(r(ir(k)), u(ir(k)), m1(k), m2(k), m3(k), c, k)
        do k = lb + 1, lt - 1, 1
          call zero3(u(ir(k)), m1(k), m2(k), m3(k))
          call interp(u(ir(j)), m1(j), m2(j), m3(j), u(ir(k)), m1(k), m2(k), m3(k))
          call resid(u(ir(k)), r(ir(k)), r(ir(k)), m1(k), m2(k), m3(k), a, k)
          call psinv(r(ir(k)), u(ir(k)), m1(k), m2(k), m3(k), c, k)
          call interp(u(ir(j)), m1(j), m2(j), m3(j), u, n1, n2, n3, k)
          call resid(u, v, r, n1, n2, n3, a, k)
          call psinv(r, u, n1, n2, n3, c, k)
        call resid(u, v, r, n1, n2, n3, a, k)
      call norm2u3(r, n1, n2, n3, rnm2, rnmu, nx(lt), ny(lt), nz(lt))
      call timer_stop(t_bench)
function call timer read(t_bench)

```

(1) 計測のスタートとストップに注目

(2) 繰り返しループに注目

(3) mg3pサブルーチンに注目

(4) マイナス方向のループでダウンサイクルと予測

(5) 制限補間ルーチンと予測

(6) ダウンサイクル後の近似解求解と予測

(7) プラス方向のループでアップサイクルと予測

(8) 延長補間と予測

(9) 残差計算と予測

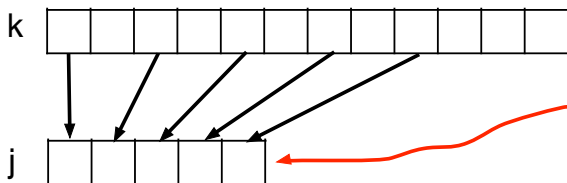
(10) アップサイクル内の近似解求解

# アプリケーションの構造の調査 (確認)

rprj3:制限補間

call rprj3(r(ir(k)),m1(k),m2(k),m3(k),r(ir(j)),m1(j),m2(j),m3(j),k)

subroutine rprj3( r,m1k,m2k,m3k,s,m1j,m2j,m3j,k )



- (1) rprj3を調査の結果制限補間処理と判明
- (2) ファイングリッドからコースグリッドへの補間処理を確認した
- (3) m1j,m2j,m3jはm1,m2,m3に結合
- (5) その他 interp(延長補間),resid(残差計算),psinv(近似解求解)と確認

## ▼ subroutine rprj3

```
▶ if (timeron) then
▼ do j3 = 2, m3j - 1, 1
  ▼ do j2 = 2, m2j - 1, 1
    do j1 = 2, m1j, 1
    do j1 = 2, m1j - 1, 1
```

- (6) rprj3のループ構造調査
- (7) m3j,m2j,m1jの3重ループ構造

# アプリケーションの構造の調査 (確認)

- (1) psinvのループ構造調査
- (2)  $n_3, n_2, n_1$ の3重ループ構造
- (3)  $n_1, n_2, n_3$ は $m_1, m_2, m_3$ に結合

```
call psinv(r(ir(k)), u(ir(k)), m1(k), m2(k), m3(k), c, k)
```

```
subroutine psinv( r,u,n1,n2,n3,c,k)
```

▼ subroutine psinv

- ▶ if (timeron) then
- ▼ do i3 = 2, n3 - 1, 1
  - ▼ do i2 = 2, n2 - 1, 1
    - do i1 = 1, n1, 1
    - do i1 = 2, n1 - 1, 1

- (1) residのループ構造調査
- (2)  $n_3, n_2, n_1$ の3重ループ構造
- (3)  $n_1, n_2, n_3$ は $m_1, m_2, m_3$ に結合

```
call resid(u(ir(k)), r(ir(k)), r(ir(k)), m1(k), m2(k), m3(k), a, k)
```

```
subroutine resid( u,v,r,n1,n2,n3,a,k )
```

▼ subroutine resid

- ▶ if (timeron) then
- ▼ do i3 = 2, n3 - 1, 1
  - ▼ do i2 = 2, n2 - 1, 1
    - do i1 = 1, n1, 1
    - do i1 = 2, n1 - 1, 1












# アプリケーションの構造の調査 (確認)

- (1) interpのループ構造調査
- (2) mm3,mm2,mm1の3重ループ構造
- (3) mm1,mm2,mm3はm1,m2,m3に結合

```
call interp(u(ir(j)), m1(j), m2(j), m3(j), u(ir(k)), m1(k), m2(k), m3(k), k)
```

```
subroutine interp( z,mm1,mm2,mm3,u,n1,n2,n3,k )
```

## ▼ subroutine interp

- ▶  if (timeron) then
- ▼  if (((n1 /= 3) .and. (n2 /= 3)) .and.
  - ▼  do i3 = 1, mm3 - 1, 1
    - ▼  do i2 = 1, mm2 - 1, 1
      -  do i1 = 1, mm1, 1
      -  do i1 = 1, mm1 - 1, 1
      -  do i1 = 1, mm1 - 1, 1
      -  do i1 = 1, mm1 - 1, 1
      -  do i1 = 1, mm1 - 1, 1

- (1) 主要4サブルーチンとも処理量はm1,m2,m3の大きさに依存している。
- (2) m1,m2,m3の分割はどうなっているか？

# データ分割の調査

(1) m1の宣言・定義・参照について調べる

(1) setupサブルーチンで配列:mi から  
代入されている

```
call rprj3(r(ir(k)),m1(k),m2(k),m3(k),
> r(ir(j)),m1(k),m2(k),m3(k))
enddo
k = lb
compute an a
call zero3(u(ir(k)),m1(k),m2(k),m3(k))
call psinv(r(ir(k)),m1(k),m2(k),m3(k))
do k = lb+1,
  j = k-1
prolongate
```

コピー
ソース検索
ファイル検索
トレース: 開始
宣言・定義・参照
測定区間設定
変数アクセス先のメモリアイプ設定
要求Byte/FLOP算出設定
外部ツールで開く

```
integer,dimension(1:maxlevel) ::m1
  宣言
  参照
  定義
  subroutine setup
    m1(k) = mi(1, k)
```

(1) setupの該当部にジャンプする

```
if( mi(1,k).eq.2 .or.
>   mi(2,k).eq.2 .or.
>   mi(3,k).eq.2 )then
  dead(k) = .true.
endif
m1(k) = mi(1,k)
m2(k) = mi(2,k)
m3(k) = mi(3,k)
```

# データ分割の調査

setup

```

do j=-1,1,1
  do d=1,3
    msg_type(d,j) = 100*(j+2+10*d)
  enddo
enddo

ng(1,lt) = nx(lt)
ng(2,lt) = ny(lt)
ng(3,lt) = nz(lt)
do ax=1,3
  next(ax) = 1
  do k=lt-1,1,-1
    ng(ax,k) = ng(ax,k+1)/2
  enddo
enddo
61 format(10i4)
do k=lt,1,-1
  nx(k) = ng(1,k)
  ny(k) = ng(2,k)
  nz(k) = ng(3,k)
enddo

log_p = log(float(nprocs)+0.0001)/log(2.0)
dx = log_p/3
pi(1) = 2**dx
idi(1) = mod(me,pi(1))

dy = (log_p-dx)/2
pi(2) = 2**dy
idi(2) = mod((me/pi(1)),pi(2))

pi(3) = nprocs/(pi(1)*pi(2))
idi(3) = me/(pi(1)*pi(2))

do k = lt,1,-1
  dead(k) = .false.
  do ax = 1,3
    take_ex(ax,k) = .false.
    give_ex(ax,k) = .false.

    mi(ax,k) = 2 +
    > ((idi(ax)+1)*ng(ax,k))/pi(ax) -
    > ((idi(ax)+0)*ng(ax,k))/pi(ax)
    mip(ax,k) = 2 +
    > ((next(ax)+idi(ax)+1)*ng(ax,k))/pi(ax) -
    > ((next(ax)+idi(ax)+0)*ng(ax,k))/pi(ax)

    if(mip(ax,k).eq.2.or.mi(ax,k).eq.2)then
      next(ax) = 2*next(ax)
    enddo
  enddo
enddo
  
```

(1) setup内の配列: miを調べた結果, プロセス分割されている事が判明

← nx-default = 1024  
"ia"

ng(ax,k)

i=01	2	3	4	5	6	7	8	9	
1	2	4	8	16	32	64	128	256	512

mproc = 4  
= 32

	pi(1)	pi(2)	pi(3)	← xy方向のプロセス数
	1	1	4	
	2	4	4	

327毎のプロセス数

me	0	1	2	3	4	5	6	7	8	9	10	...	30	31
idi(1)	0	1	0	1	0	1	0	1	0	1	0	...	0	1
idi(2)	0	0	0	0	1	1	1	1	2	2	2	...	3	3
idi(3)	0	0	0	0	0	0	0	1	1	1	...	3	3	

miは分割された3  
1024 \* 2 + 2 = 514 (ax=9の時)  
= ng(ax,k) \* pi(ax) + 2  
↑  
各方向の分割数  
各方向の分割数



# スケーラビリティの調査

## (1) 4プロセスの測定. ウィークスケーリング測定

4プロセス

Basic profile

Performance monitor : Performance

```
*****
Process 0
*****
```

Elapsed(s)	User(s)	System(s)	Call
17.3529	133.6500	0.2200	1
8.5085	68.0400	0.0000	191
1.5350	12.3600	0.0100	168
4.2610	34.0600	0.0000	189
1.4298	11.4000	0.0000	168

主要処理のelaps時間  
全体で17sec

Performance monitor event

```
*****
Application - performance monitors
*****
```

Elapsed(s)	MFLOPS	MFLOPS/PEAK (%)	MIPS	MIPS/PEAK (%)	
16.6556	10361.0515	2.0236	18605.9895	7.2680	Application
16.6556	2590.2629	2.0236	4651.6009	7.2681	Process 0
16.6052	2598.1206	2.0298	4668.2023	7.2941	Process 2
16.5407	2608.2634	2.0377	4683.4974	7.3180	Process 1
16.5213	2611.3249	2.0401	4686.9329	7.3233	Process 3

プロセスのロード  
インバランスは  
発生していない  
ピーク性能比2%

Elapsed(s)	Mem throughput _chip (GB/S)	Mem throughput /PEAK (%)	SIMD (%)	
16.6556	32.3398	12.6327	48.7947	Application
16.6556	8.0885	12.6382	48.7936	Process 0
16.6052	8.1070	12.6672	48.7676	Process 2
16.5407	8.1357	12.7120	48.7981	Process 1
16.5213	8.1551	12.7423	48.8196	Process 3

# スケーラビリティの調査

## (1) 32プロセスの測定. ウィークスケーリング測定

32プロセス  
Basic profile

Performance monitor : Performance

\*\*\*\*\*

Process 0

\*\*\*\*\*

Elapsed(s)	User(s)	System(s)	Call
39.6560	311.7600	0.3100	1 all 0
20.2033	161.5600	0.0000	512 resid 1
3.8802	31.3600	0.0000	459 interp 1
10.3244	82.6200	0.0000	510 psinv 1
3.4813	28.0800	0.0100	459 rprj3 1

主要処理のelaps時間  
全体で40sec

-----  
Performance monitor event

\*\*\*\*\*

Application - performance monitors

\*\*\*\*\*

Elapsed(s)	MFLOPS	MFLOPS/PEAK (%)	MIPS	MIPS/PEAK (%)	Application
39.3654	83044.5238	2.0275	149003.2766	7.2756	Application
39.3654	2595.1412	2.0275	4654.6126	7.2728	Process 0
39.3575	2595.6627	2.0279	4650.9112	7.2670	Process 7
39.3546	2595.8520	2.0280	4656.6897	7.2761	Process 8

プロセスのロード  
インバランスは  
発生していない  
ピーク性能比2%



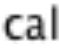
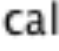





Elapsed(s)	Mem throughput _chip (GB/S)	Mem throughput /PEAK (%)	SIMD (%)	Application
39.3654	258.7562	12.6346	49.3192	Application
39.3654	8.0773	12.6208	49.3303	Process 0
39.3575	8.0573	12.5895	49.3647	Process 7
39.3546	8.0544	12.5850	49.3071	Process 8

# スケーラビリティの調査

- ウィークスケールリングで4プロセスから32プロセスで全体で17secから40secへ実行時間が増大. 約2.5倍の増大.
- 主要4サブルーチンも同様の傾向.
- しかしピーク性能比は、2%で変わらず.
- 1プロセスの演算量が同じなら実行時間が延びる事でピーク性能比も落ちるはず？
- 調査の結果ウィークスケール測定であったが32プロセスでは全体のイタレーション回数が2.5倍に設定されていた事が判明.
- スケーラビリティとしては良好である事が分かった.
- またロードインバランスも良好であることが分かった.
- 並列化の観点では問題なし.

# 並列特性分析(結果)

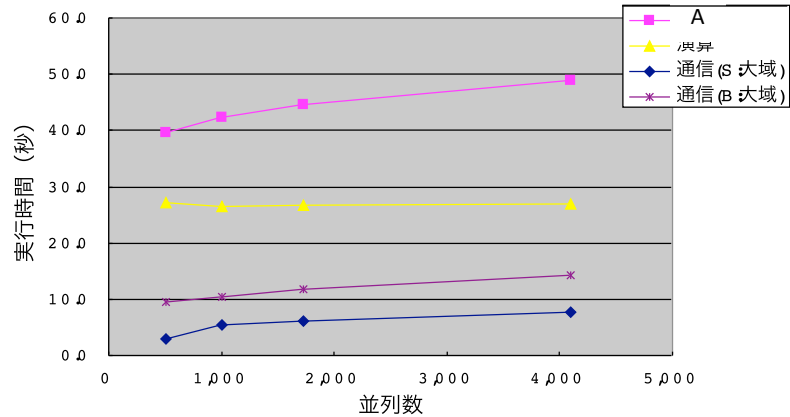
## ▼ subroutine mg3p

- ▼  do k = lt, lb + 1, -1
  - ▶  call rprj3(r(ir(k)), m1(
  - ▶  call zero3(u(ir(k)), m1(k),
  - ▶  call psinv(r(ir(k)), u(ir(k)),
- ▼  do k = lb + 1, lt - 1, 1
  - ▶  call zero3(u(ir(k)), m1
  - ▶  call interp(u(ir(j)), m1
  - ▶  call resid(u(ir(k)), r(ir(
  - ▶  call psinv(r(ir(k)), u(ir(

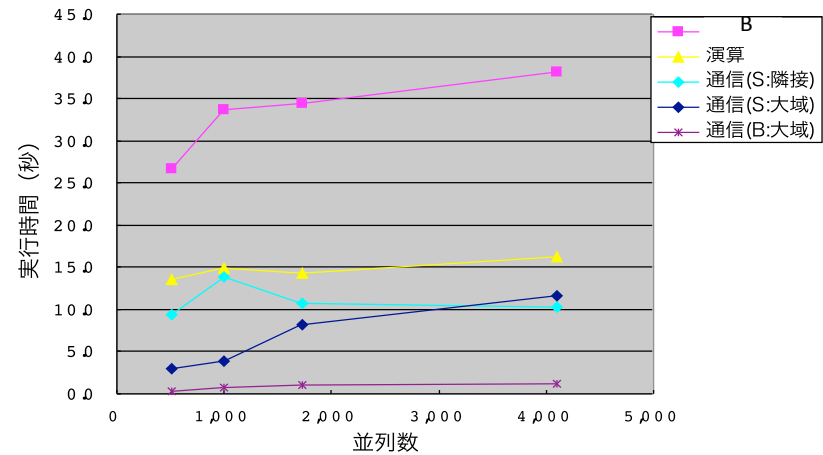
実行時間 ・スケール ・ビリティ	物理的 処理内容	演算・通 信特性	演算・通 信見積り	カー ネル
良好	制限補間	完全並列	Nに比例	○
良好	延長補間	完全並列	Nに比例	○
良好	残差計算	完全並列	Nに比例	○
良好	簡易求解	完全並列	Nに比例	○

# Weak Scaling測定例

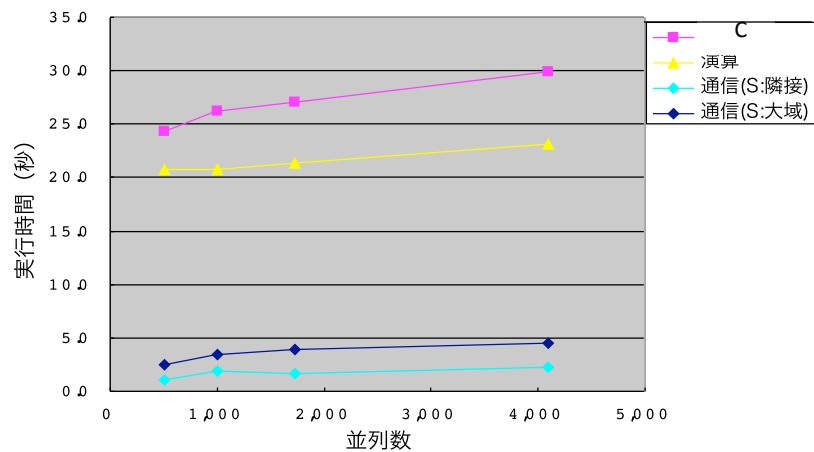
処理ブロックA Weak Scaling,



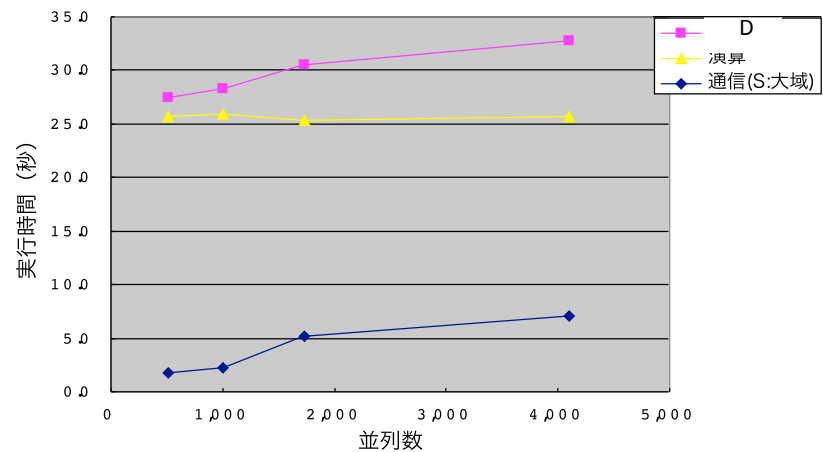
処理ブロックB Weak Scaling,



処理ブロックC Weak Scaling,



処理ブロックD Weak Scaling,





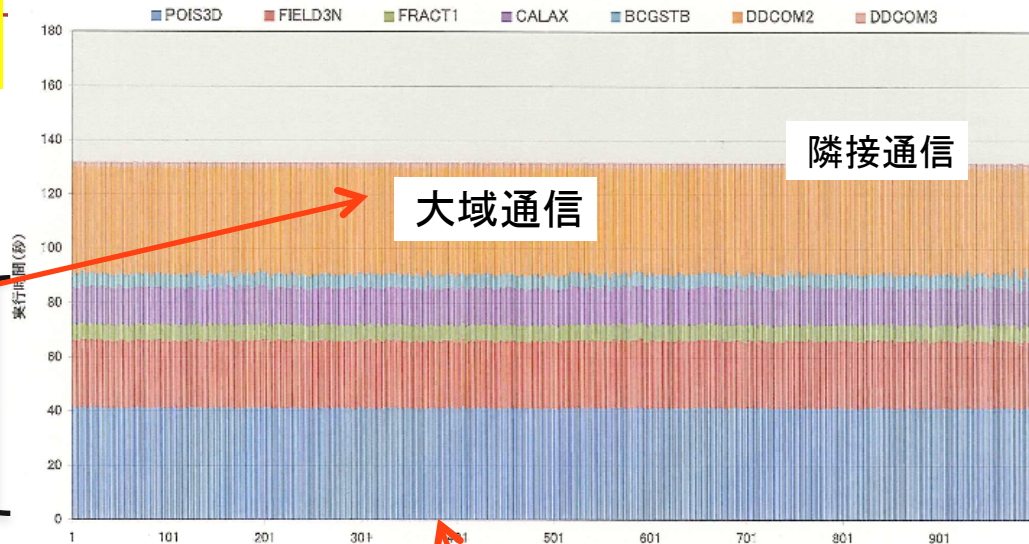
# Weak Scaling測定例 (横軸をランク番号として評価)

通信時間の評価

1000Proc.

FFB@RICC  
1000proc. x04

2010.3.12走行  
50 time steps  
Compile Option : -high, -ktl\_trt



演算

大域通信

隣接通信

プロセス番号

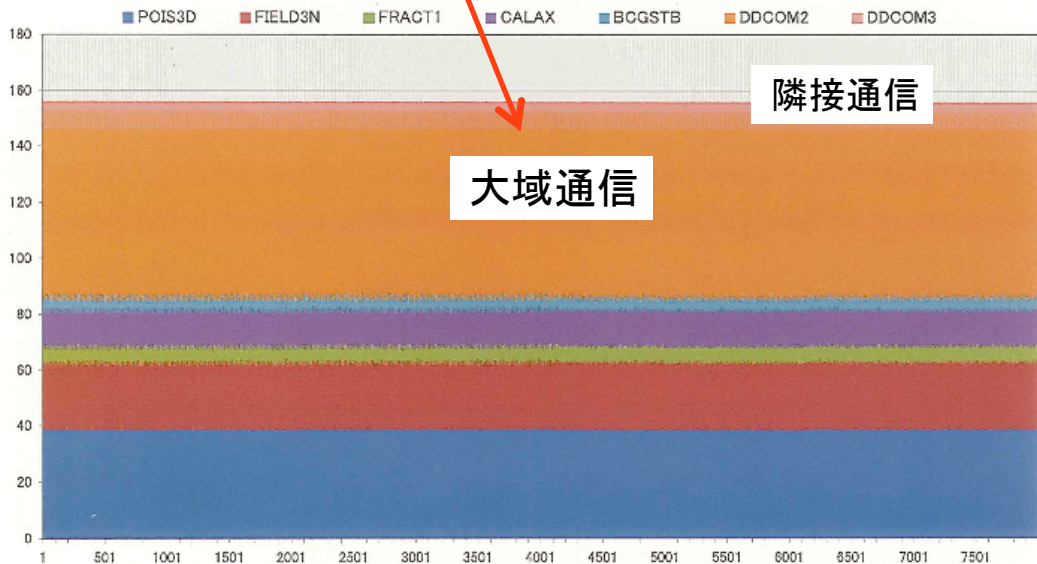
ロードインバランス  
の評価

演算

8000Proc.

FFB@RICC  
8000proc. x04

2010.3.12走行  
50 time steps  
Compile Option : -high, -ktl\_trt



隣接通信

大域通信

プロセス番号



---

# 並列性能上の ボトルネック

# 並列性能上のボトルネック

- 今まで示した調査を実施することにより処理ブロック毎に並列性能上の問題がある事が発見される.
- それらを分析するとだいたい以下の6点に分類されると考える.

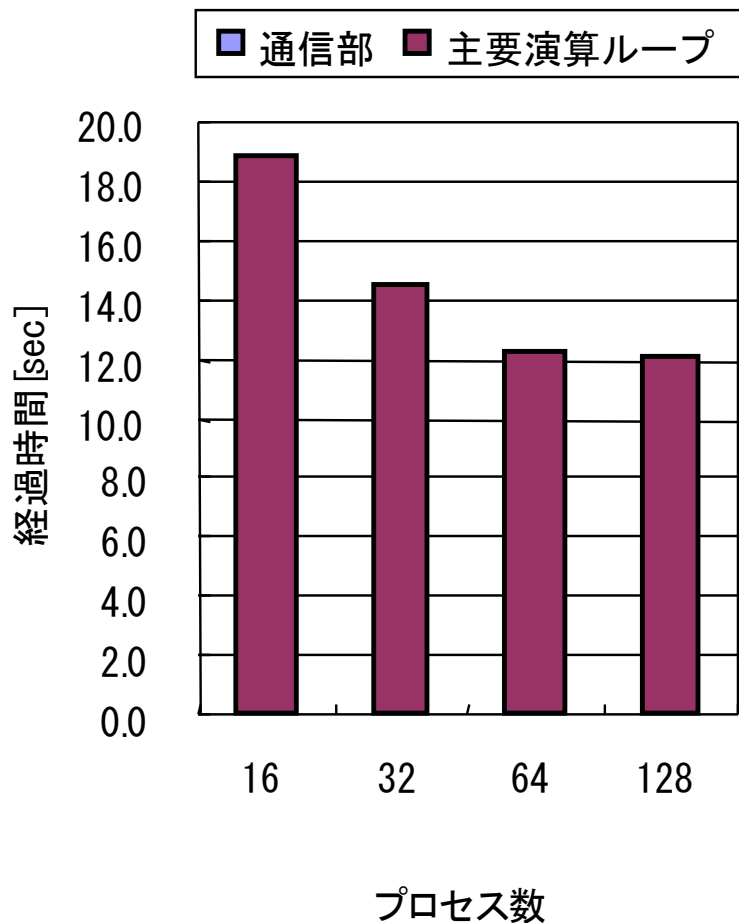
1	アプリケーションとハードウェアの並列度のミスマッチ (アプリケーションの並列度不足)
2	非並列部の残存
3	大域通信における大きな通信サイズ、通信回数の発生
4	フルノードにおける大域通信の発生
5	隣接通信における大きな通信サイズ、通信回数の発生
6	ロードインバランスの発生

# アプリケーションとハードウェアのミスマッチ

- 波数展開を使う第一原理計算の場合を考える。
- 電子のエネルギーバンド並列のみ実装されていると仮定
- 原子一個に対し最外核の電子2個と考えるとエネルギーバンドの数は、おおよそ原子数： $N \times 2$ となる。
- $N=10000$ ならエネルギーバンド数は20000程度である。
- この場合、最大でも20000並列までしか到達しない。
- 通信の増大や計算の粒度を考えると数百並列で限界となる。
- 波数等その他の分割を組み合わせた並列化が必要となる。
- 詳細は4回目の講義で実例を示す。

# 非並列部の残存

- 第一原理アプリケーションの**処理ブロック**:ノンローカル項の計算部分を例に示す.
- 低並列でストロングスケールで測定.
- すでにこの並列度でスケールしていない. 原因は次ページに示す.

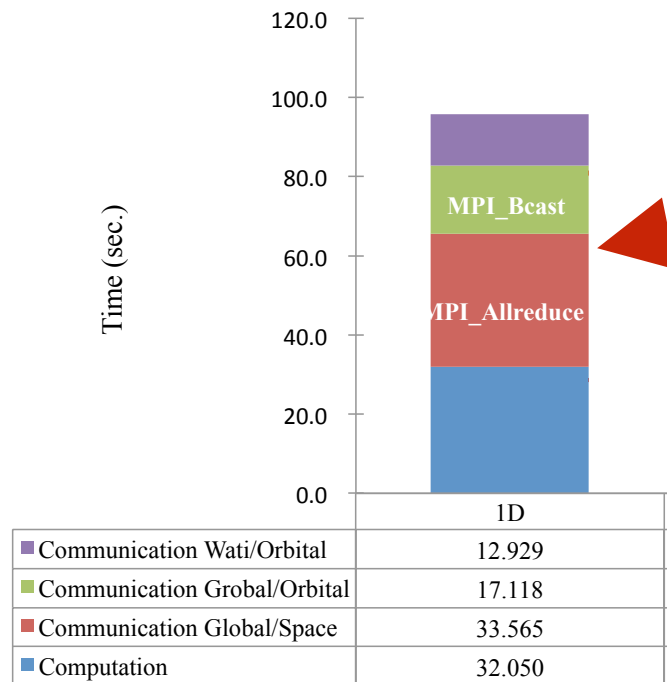


# 非並列部の残存

- 第一原理計算のアプリでエネルギーバンド並列を使用している場合の非並列部が残っている例.

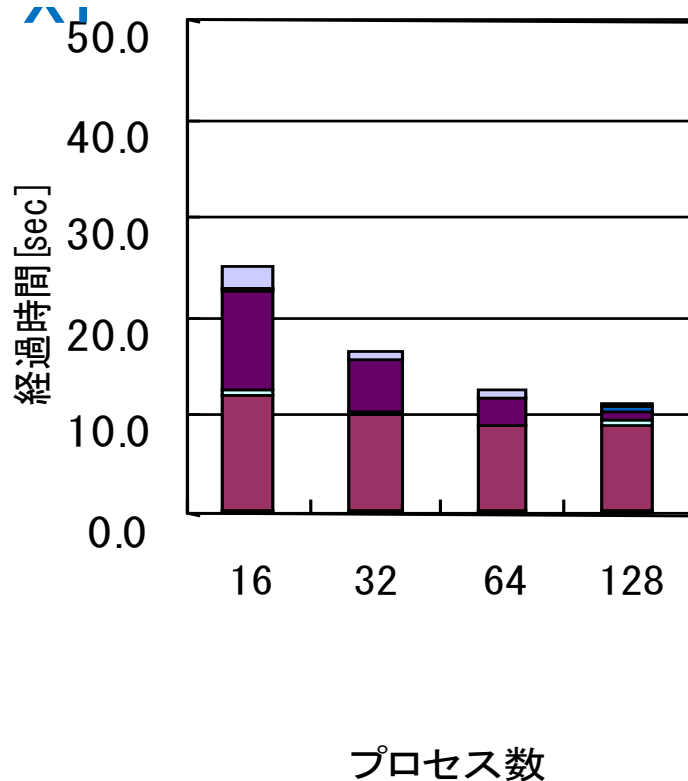
```
subroutine m_es_vnonlocal_w(ik,iksnl,ispin,switch_of_eko_part)
  +-call tstatc0_begin
  loop_ntyp: do it = 1, ntyp
    loop_natm : do ia = 1, natm -----原子数のループ
      +-call calc_phase
      T-do lmt2 = 1, ilmt(it)
      +-call vnonlocal_w_part_sum_over_lmt1
      +-call add_vnlph_l_without_eko_part
        subroutine add_vnlph_l_without_eko_part()
          T-if(kimg == 1) then
            T-do ib = 1, np_e -----エネルギーバンド並列部
              T-do i = 1, iba(ik)
              V-end do
            V-end do
          +-else
            T-do ib = 1, np_e -----エネルギーバンド並列部
              T-do i = 1, iba(ik)
              V-end do
            V-end do
          V-end if
        end subroutine add_vnlph_l_without_eko_part
      V-end do
    V-end do loop_natm
  V-end do loop_ntyp
end subroutine m_es_vnonlocal_w
```

# 大域通信における大きな通信サイズ・通信回数



- 通信はレイテンシーが問題になる場合とバンド幅が問題になる場合がある。
- 各ノードでベクトルデータを総和しスカラー値を求め、スカラー値をノード間でallreduceすれば良いのに、全ノードで巨大なベクトルをallreduceしていませんか？
- この場合は、よけいなバンド幅を消費していることになる。
- 最適化された大域通信のライブラリを使っていますか？
- 最適なライブラリと最適化されていないライブラリでは数倍性能差が発生する場合がある。
- 小さなデータを頻繁に大域通信していませんか？
- まとめることが出来る通信はまとめて回数を減らす事でレイテンシーネックを解消することができます。
- 大域通信ライブラリで可能な通信と同様な事を隣接通信で自作しているような場合がある。
- 性能の良い大域通信ライブラリの使用を推奨します。

# フルノードにおける大域通信の発生



- FFTをフルノードで実施する事は性能を著しく劣化させる。
- 第一原理アプリケーションのFFTを含む処理ブロックの例を左図に示す。
- 低並列でストロングスケールで測定。
- すでにこの並列度でスケールしていない。
- 並列軸の追加によりFFTをフルノードでなく一部のノードに限ることが出来る場合がある。
- 詳細は4回目の講義で説明する。
- CG法の内積計算のようにフルノードで大域通信を実施する必要がある計算は減らすことができない。
- その場合は、高速なハードウェアアシスト機能を使用する等の対処をとる。

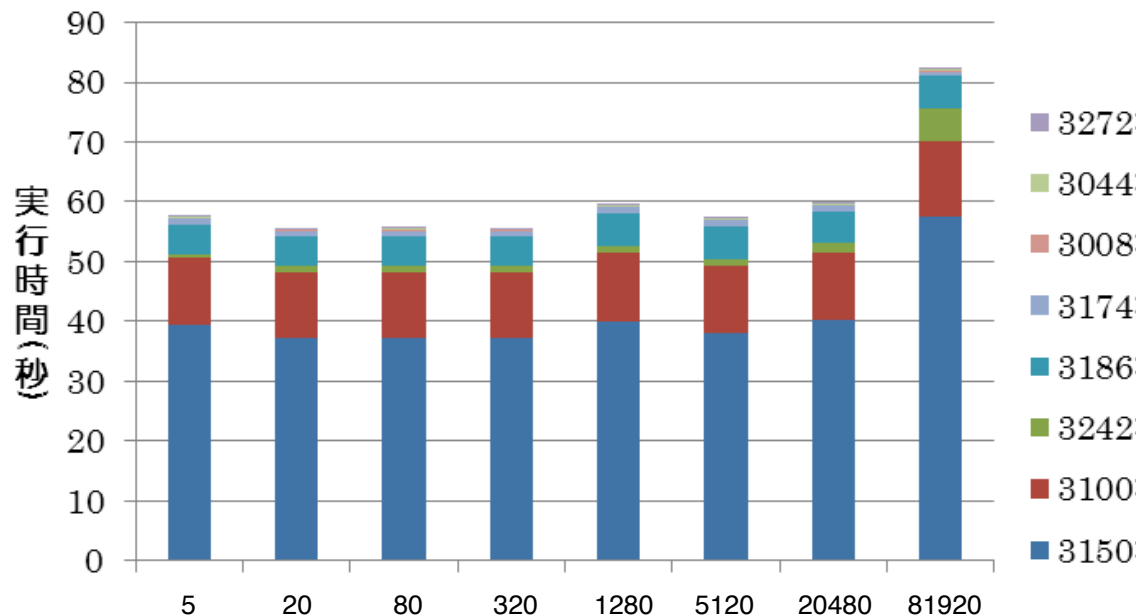


# 隣接通信における大きな通信サイズ・通信回数

- 隣接通信がネックになる場合、アルゴリズムを見直す事で隣接通信をやめてしまうことが出来る場合がある。
- 例えばCG法前処理のローカライズ化等の場合。
- 中途半端な並列化が通信性能の悪化を招く場合がある。
- これらの詳細は4回目の講義で説明する。

# ロードインバランスの発生

- ロードインバランスの発生は色々な原因がある。
- 第一は粒子の計算で時間発展により粒子のバランスが変わるような場合。
- 動的負荷分散を取る方法等色々な手法が研究されている。
- その他システムの外乱が原因となる場合もある。
- 詳細は3回目以降に講義する。
- 以下の例は処理ブロック毎にスケーラビリティを測定した例。



# まとめ

- **反復法**

- 次回以降に使用するため反復法について説明しました。

- **アプリケーションの性能最適化**

- 性能最適化の流れと高並列化のための分析手法を説明しました。

- **簡単な実例**

- NPB MGを例に高並列化のための分析手法の実例を示しました。

- **並列性能のボトルネック**

- 並列性能のボトルネック要因について説明し例を示しました。